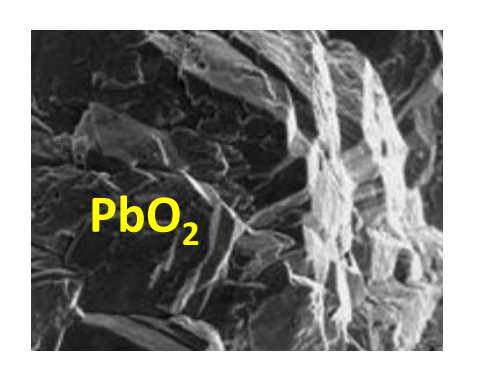
5 - Бинарные

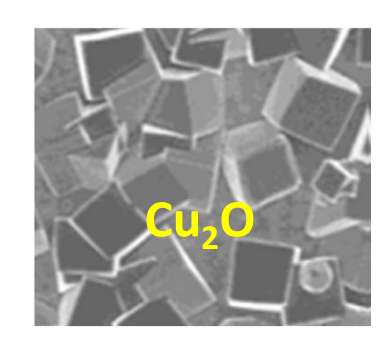
Анодая и катодная электрокристаллизация оксидов. Зависимость стехиометрии оксида от потенциала. Электрохимически индуцированное осаждение оксидов, индуцирующие реакции (восстановление нитрата, перекиси, кислорода). Возможности эпитаксии.

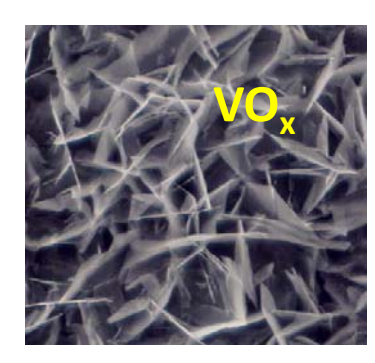
Осаждение бинарных полупроводников. Одно- и двухстадийные схемы осаждения. Процессы восстановления кислородных соединений S, Se, Te. Побочные процессы.

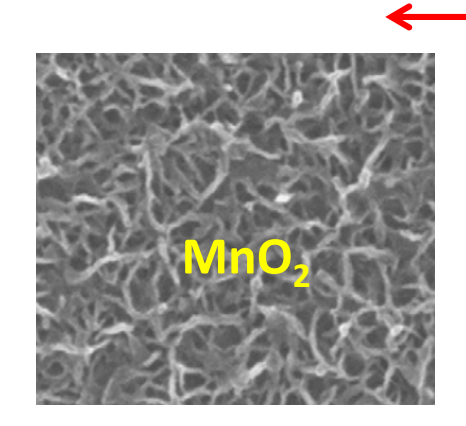


Необходимые условия:

- минимум две степени ненулевых степени окисления;
- среда, в которой соответствующие соединения имеют существенно разную растворимость;
- проводимость осаждаемого оксида.



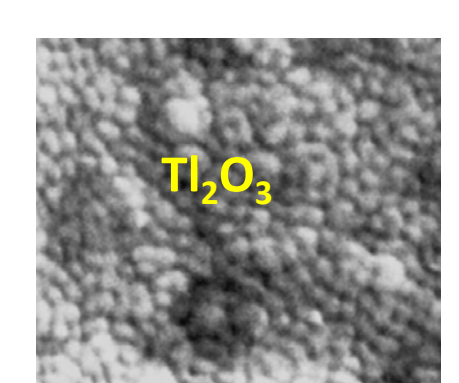


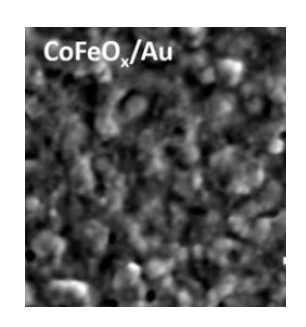


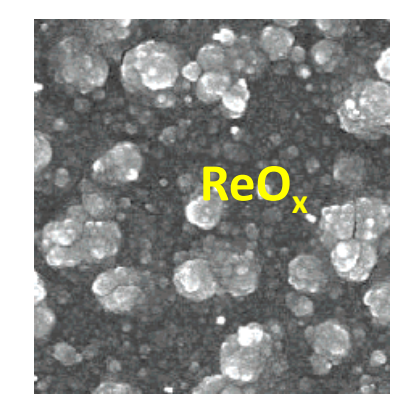
Анодная электрокристаллизация

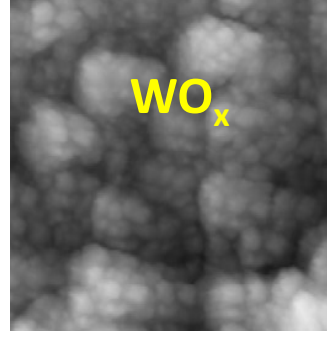
 $[M(OH)_x(H_2O)_y]^{z+}$

Катодная электрокристаллизация









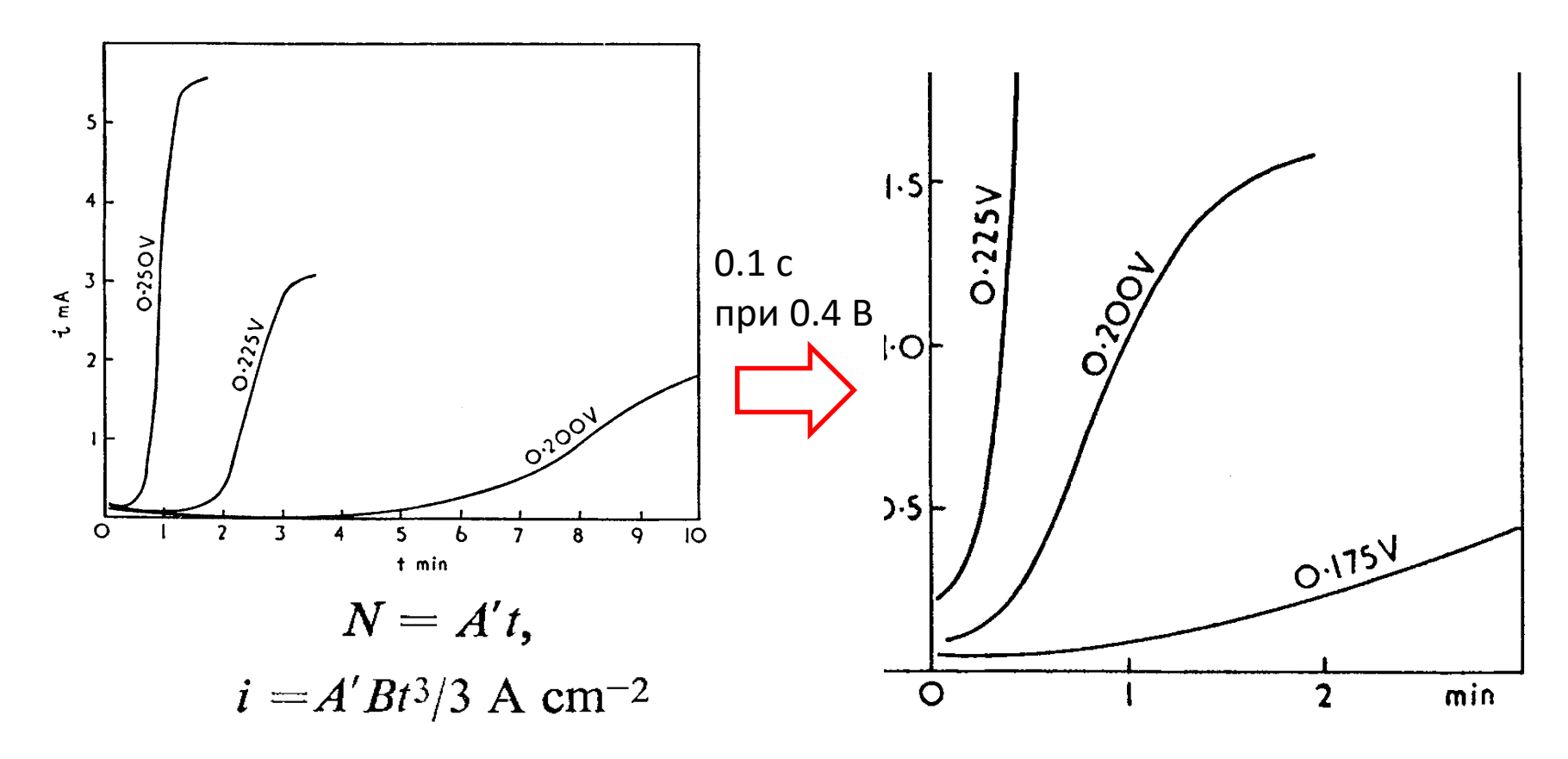
THE ANODIC OXIDATION OF SOLUTIONS OF PLUMBOUS SALTS

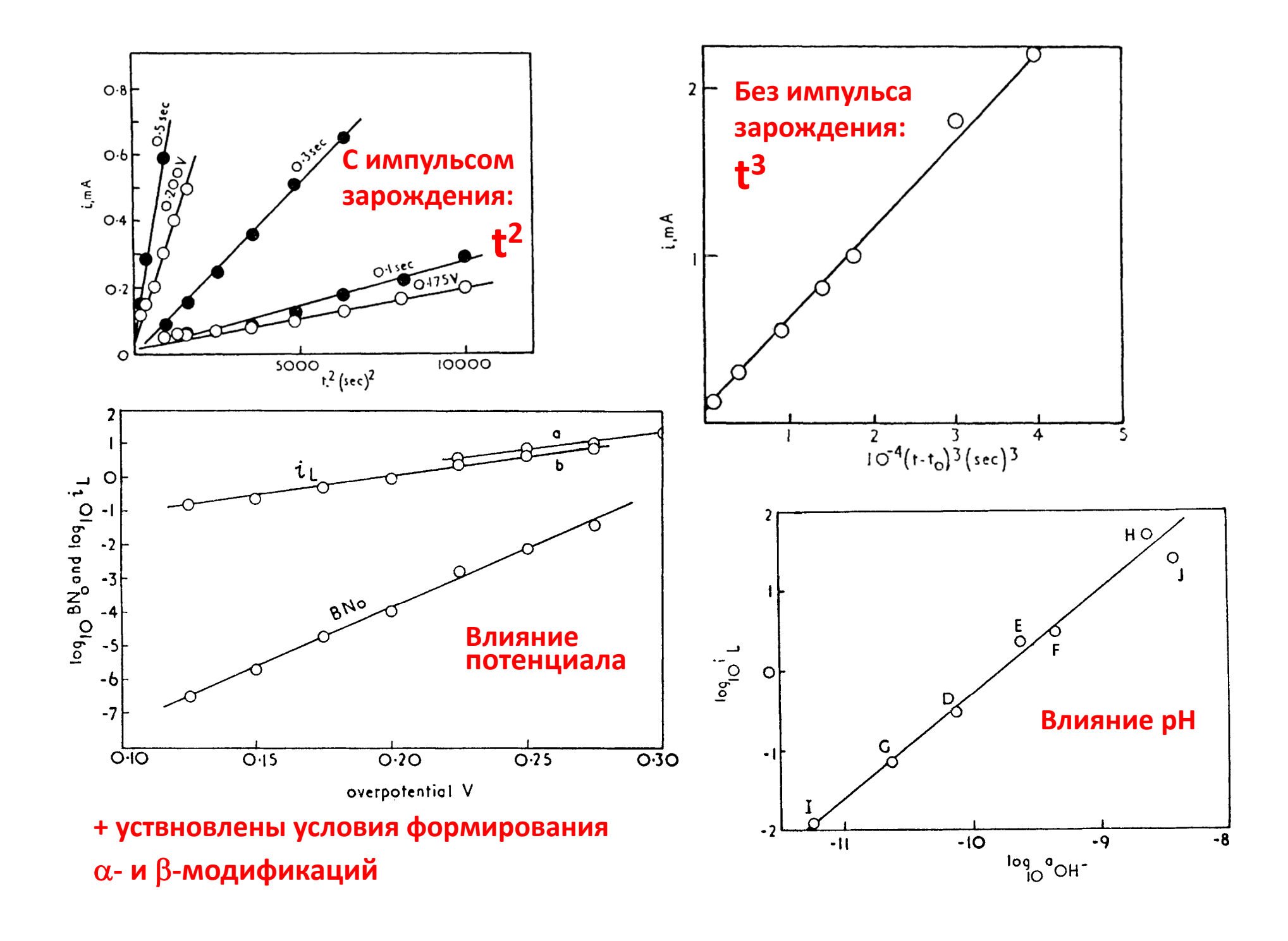
PART 1.—THE KINETICS OF DEPOSITION OF α-LEAD DIOXIDE FROM ACETATE SOLUTIONS

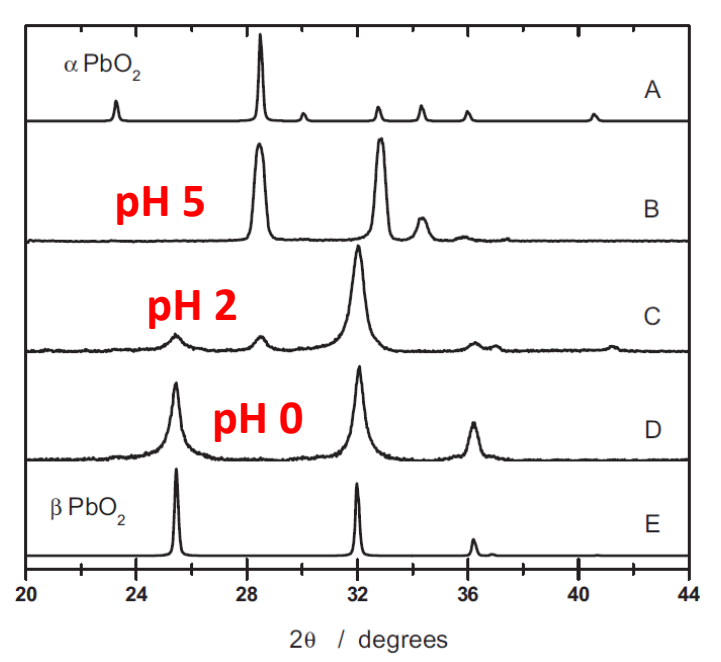
Trans. Faraday Soc. 54 (1958) 1370-1381

By M. Fleischmann and (Miss) M. Liler

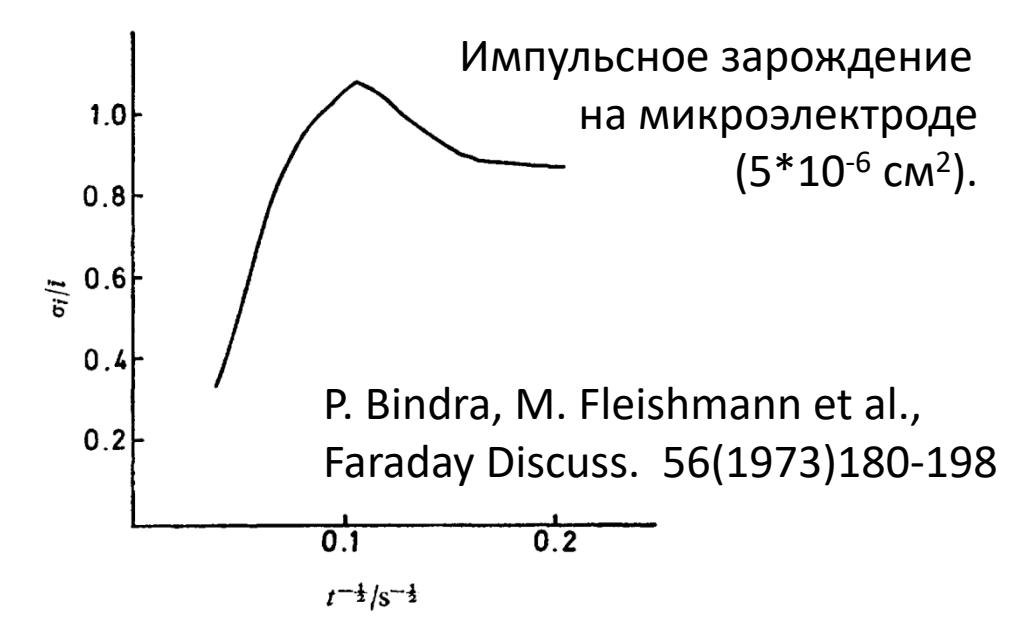
$$Pb^{2+} + OH_{ads} + OH^{-} - e \rightarrow Pb(OH)_{2}^{2+} \rightleftharpoons PbO_{2} + 2H^{+},$$



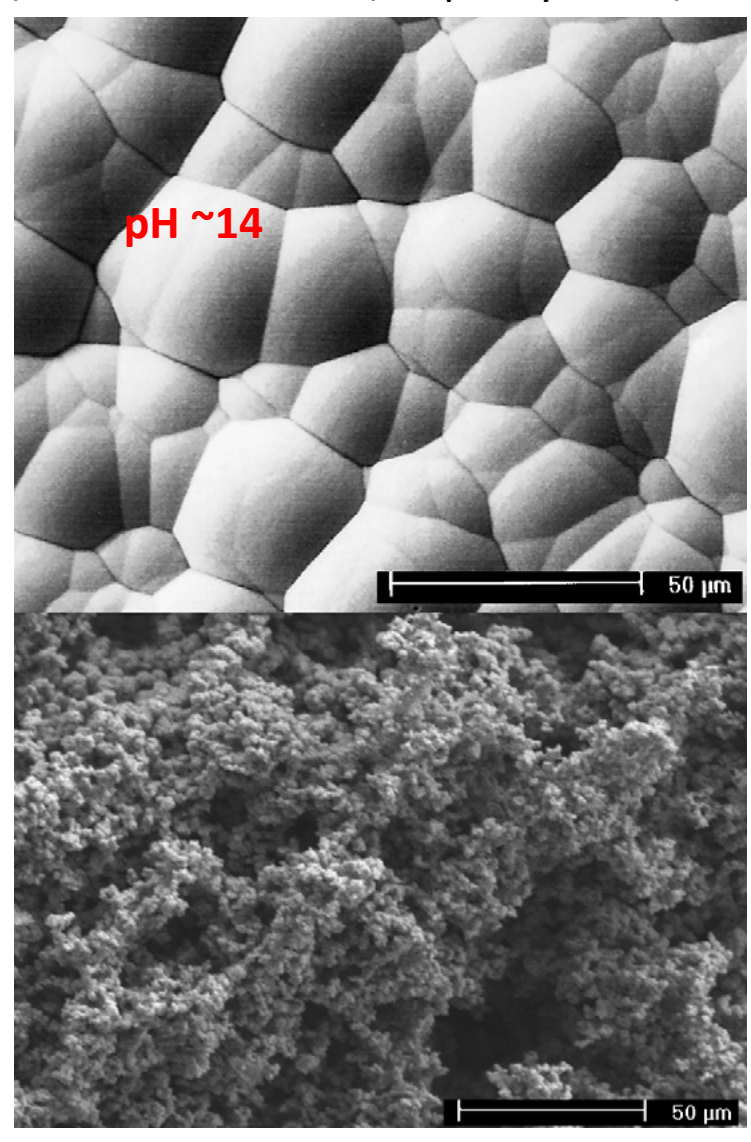




P. Perret et al., J. Electrochem. Soc. 156 (2009) A645-A651

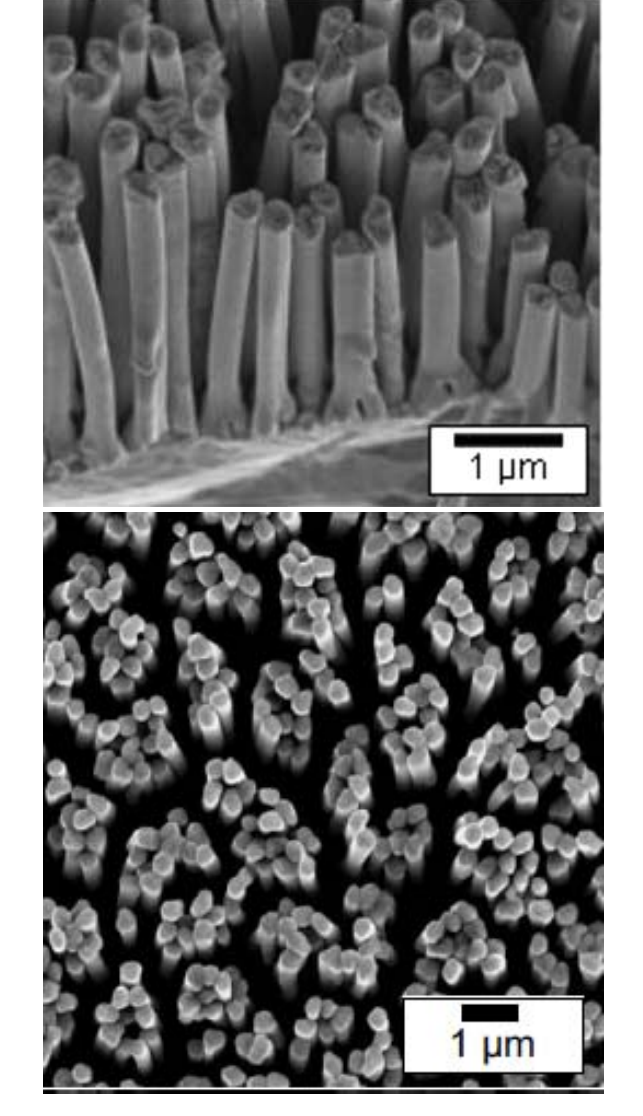


Электрофоретическое соосаждение, дополнительные центры нуклеации

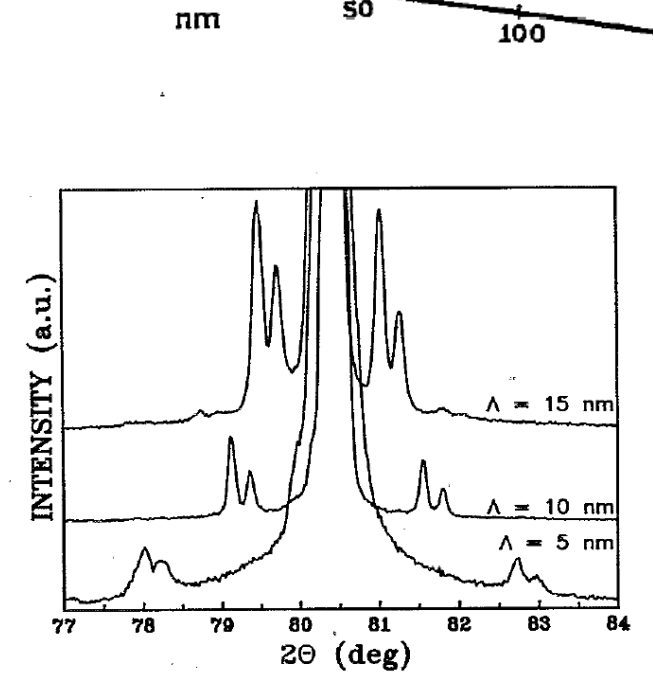


S.Cattarin , M. Musiani, Electrochim. Acta, 52 (2007) 2796–2805

Наноструктуры на основе PbO₂



P. Perret et al.,J. Electrochem. Soc.156 (2009) A645-A651



B
A
B
A
B
A
B
A
Substrate

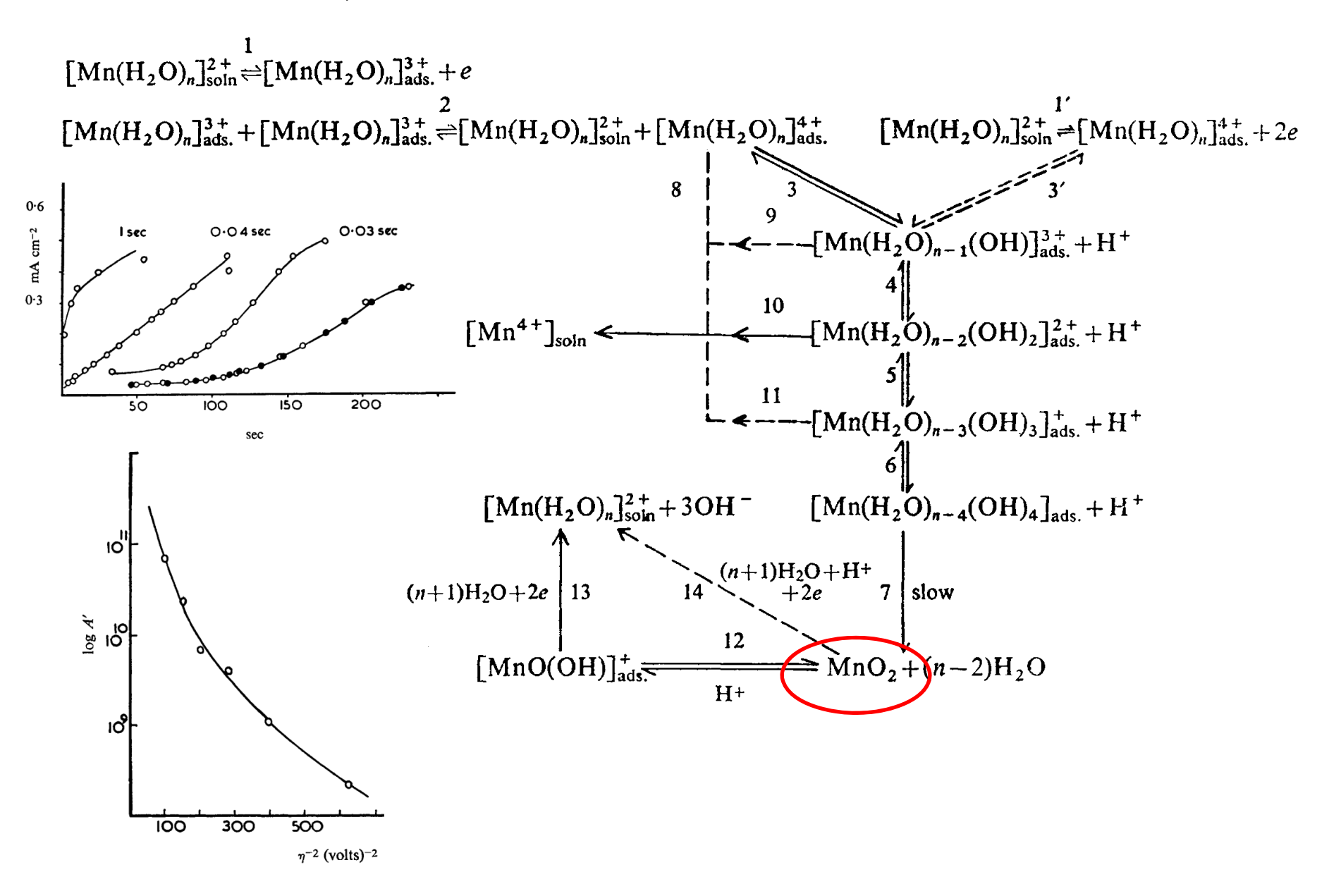
(Pb, Tl)O_x

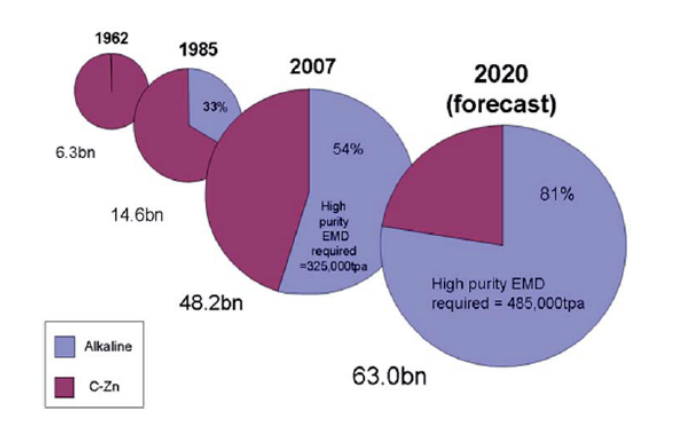
J. Switzer et al.: Science 247 (1990) 444-446; Appl. Phys. Lett. **63** (1993) 1501 -1503.

Kinetics of Electrodeposition of γ -Manganese Dioxide

Trans. Faraday Soc. 58 (1962) 1865-1877

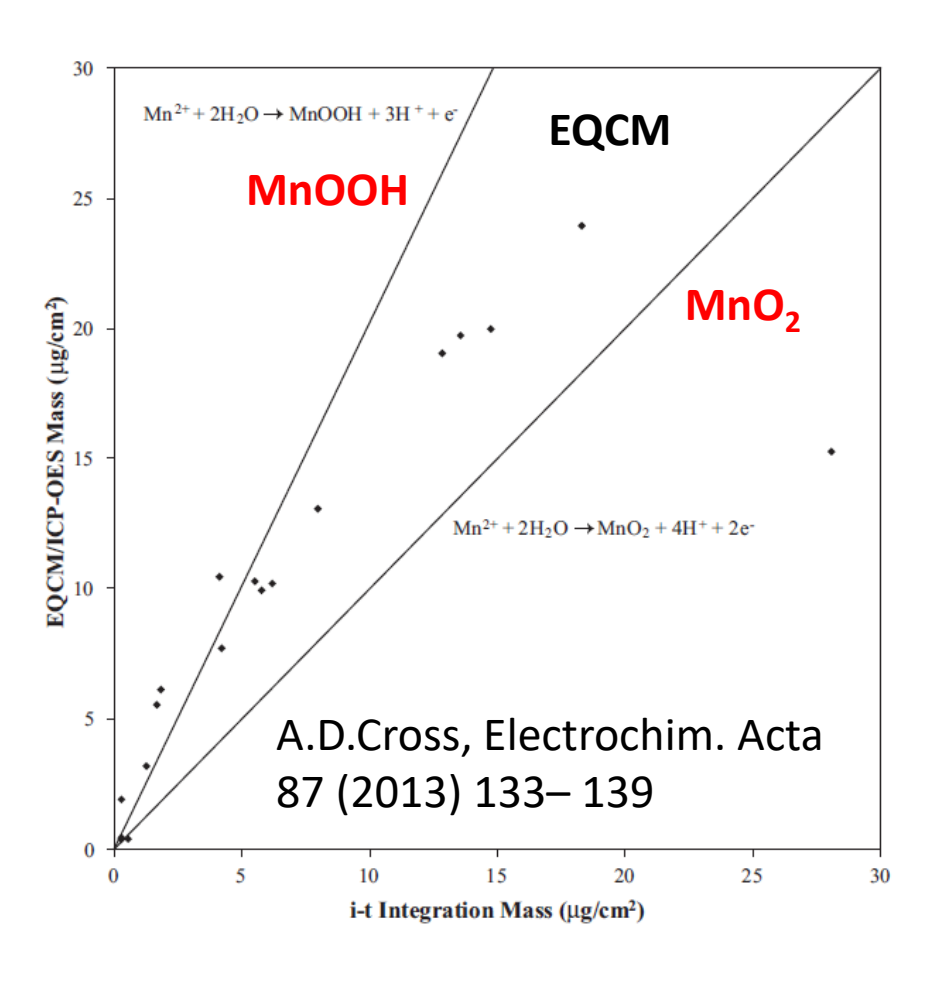
By M. Fleischmann, H. R. Thirsk and I. M. Tordesillas



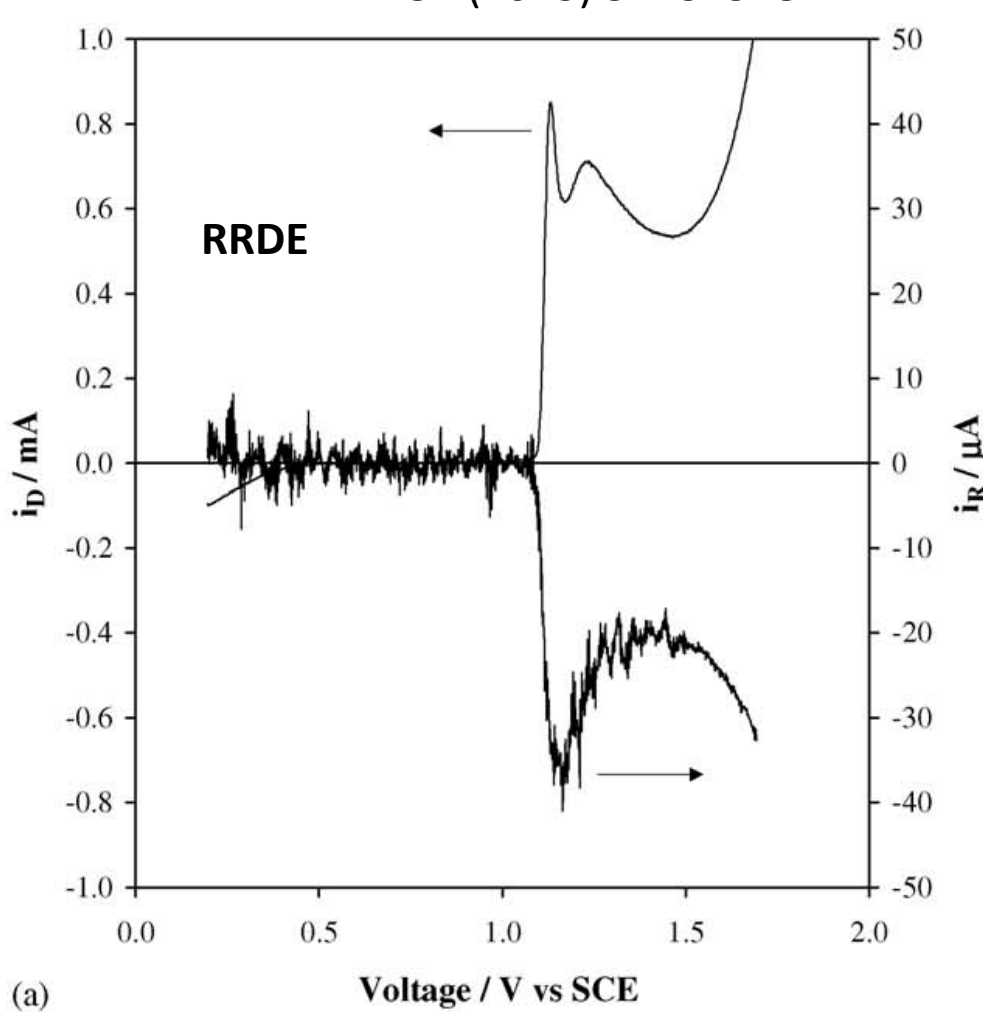


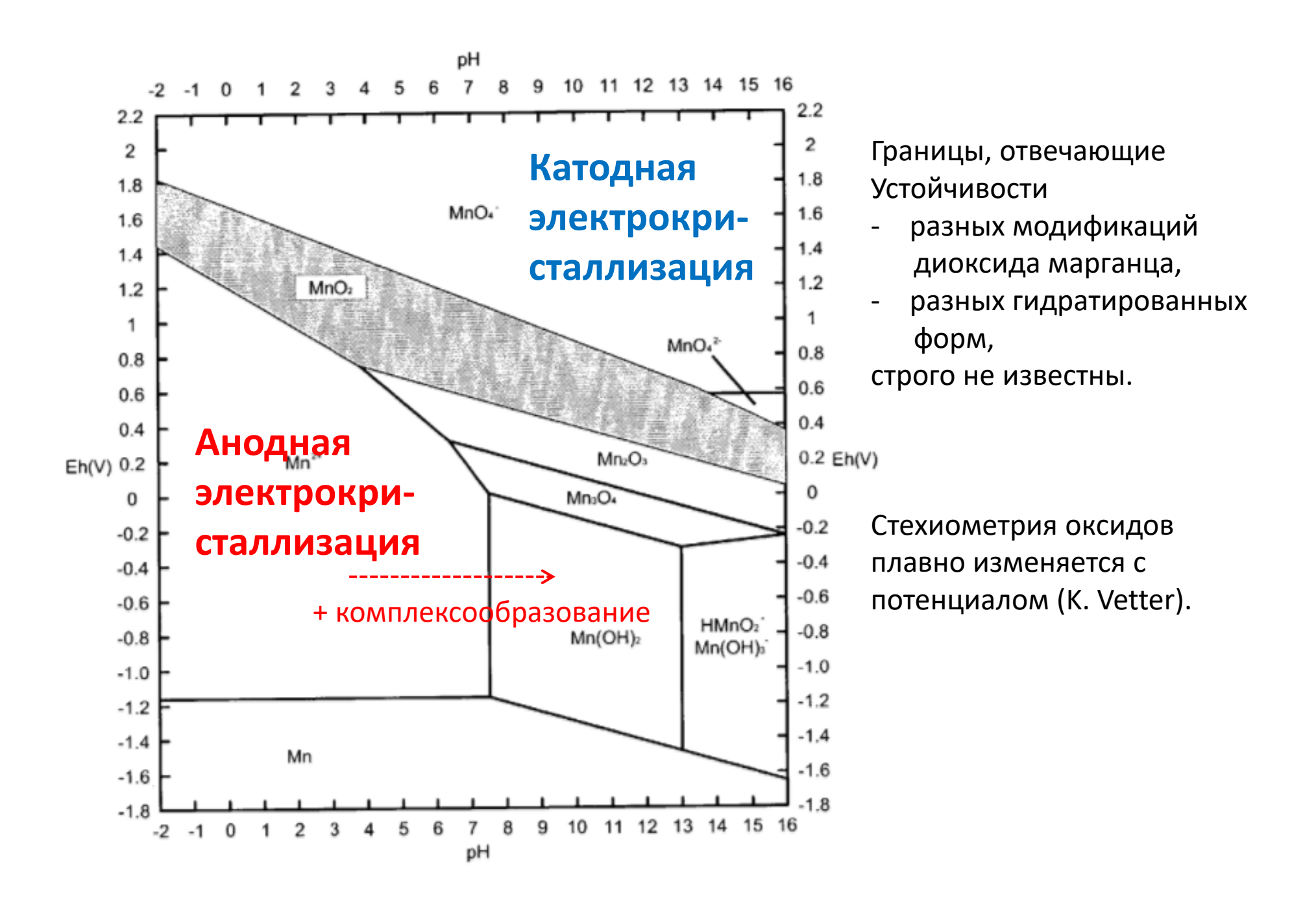
Недавний обзор:

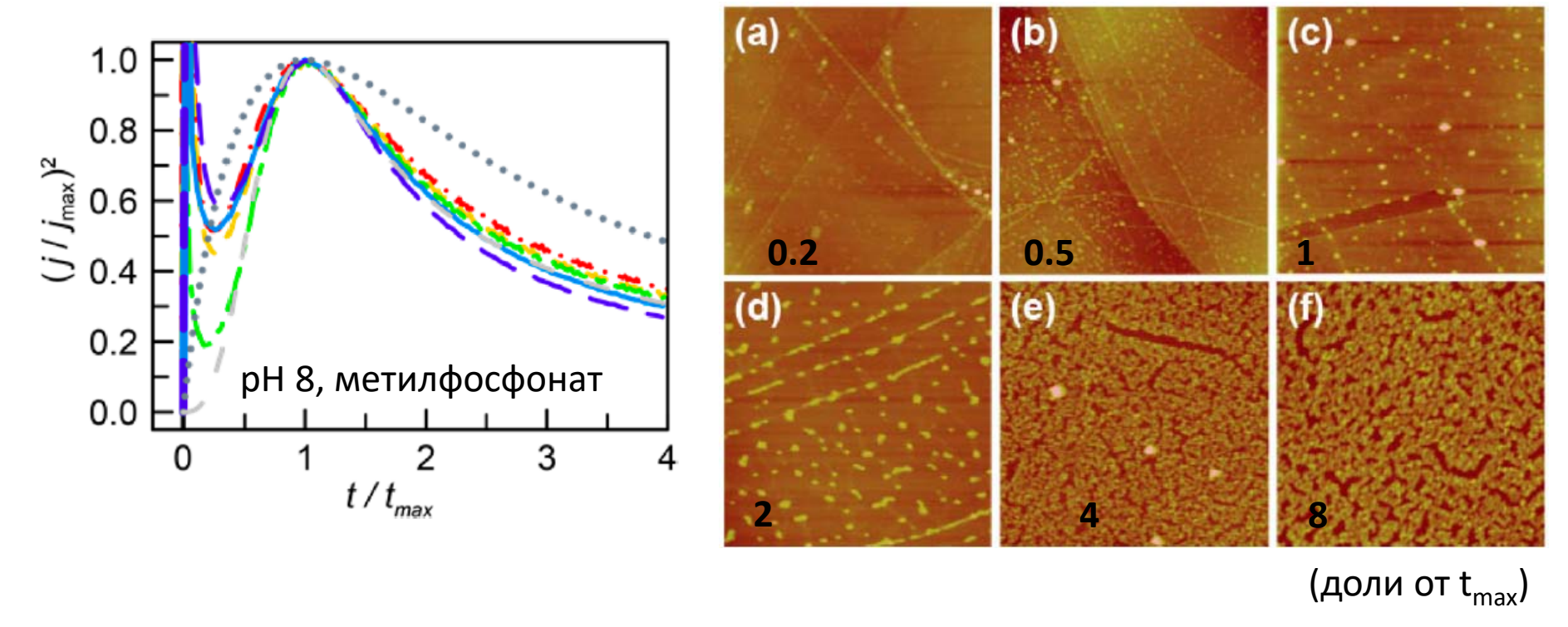
RSC Advances, 5 (2015) 58255-58283



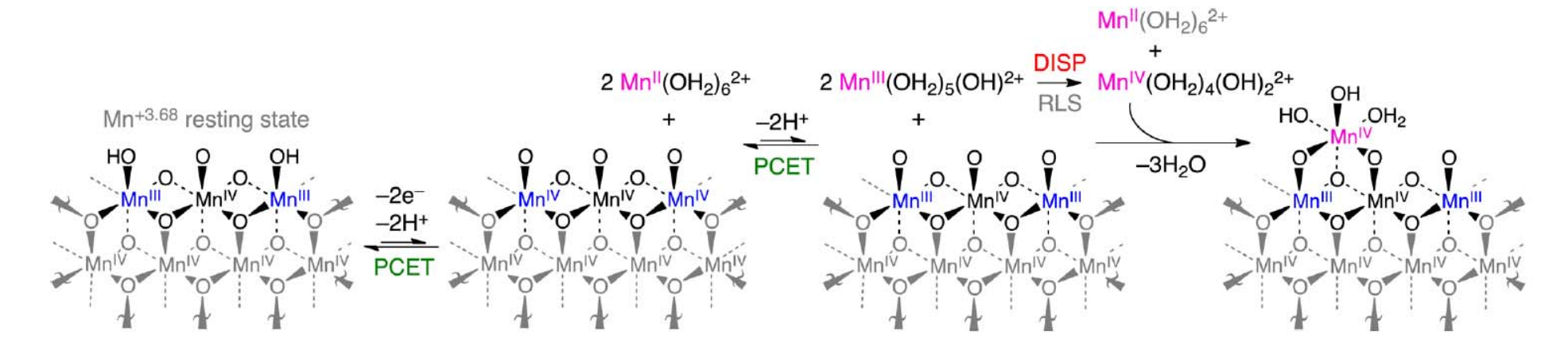
C.J.Clarke, Electrochim. Acta 51 (2013) 5773–5784

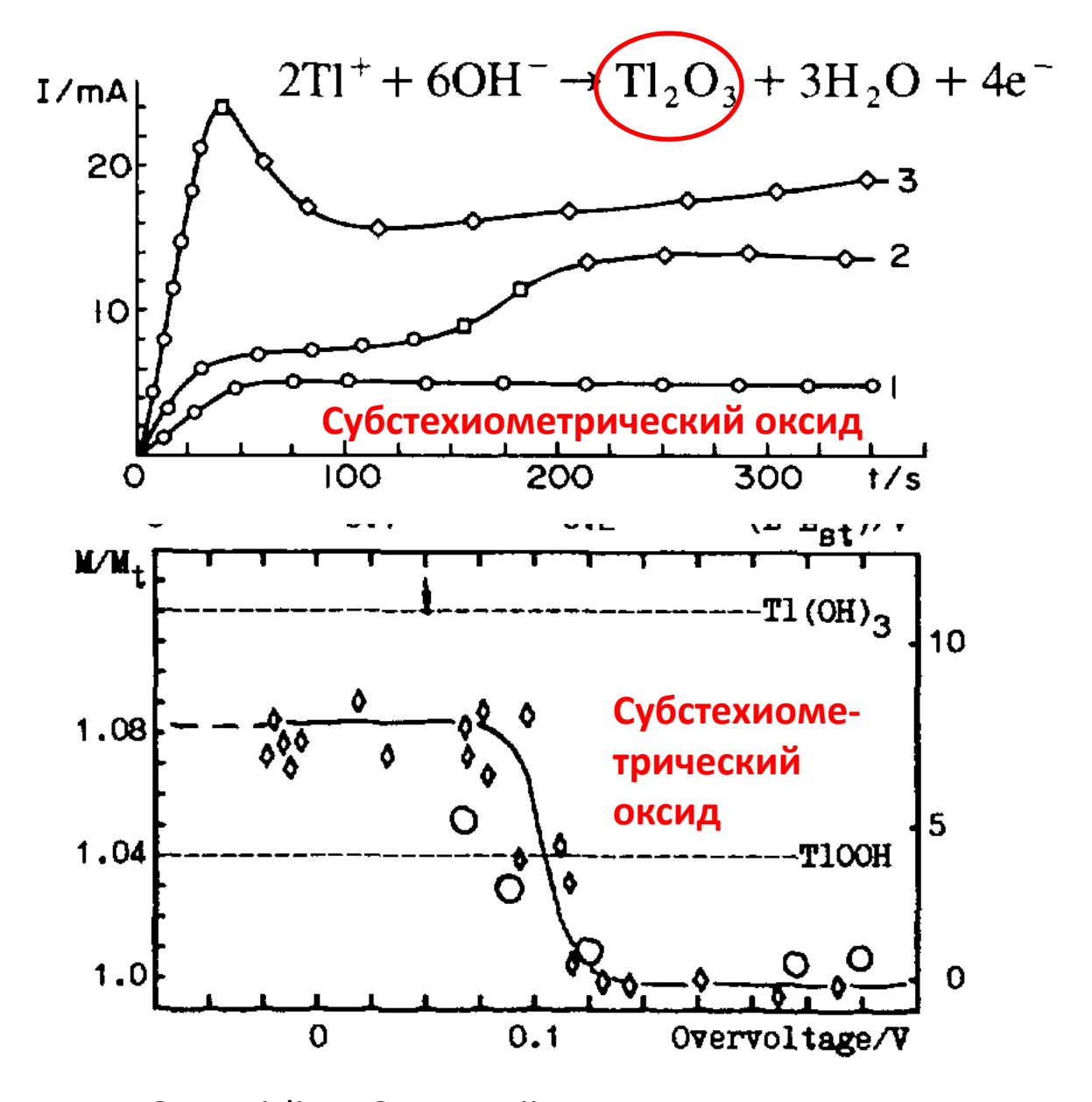




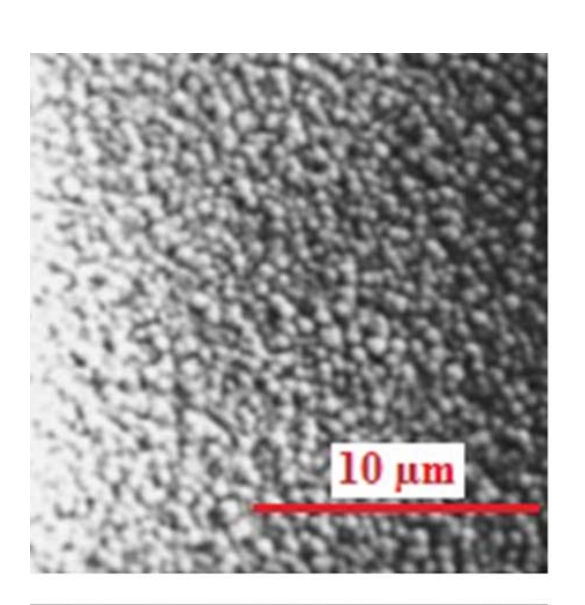


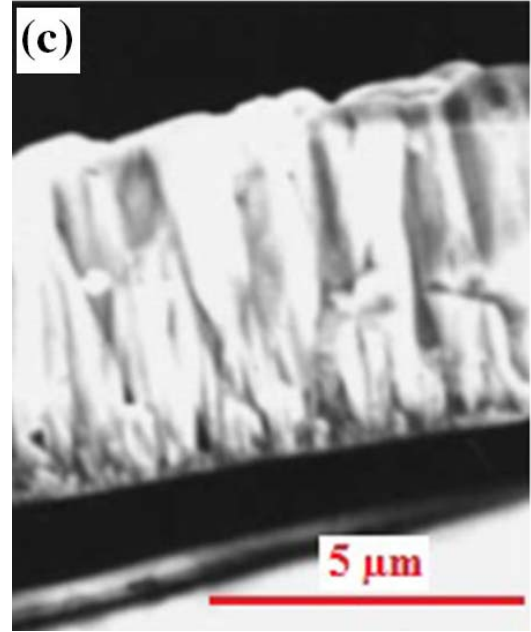
M. Huynh et al., J. Phys. Chem. C 118 (2014) 17142–17152





G.A. Tsirlina, O.A. Petrii, J. Electroanal. Chem. 401 (1996) 33-43



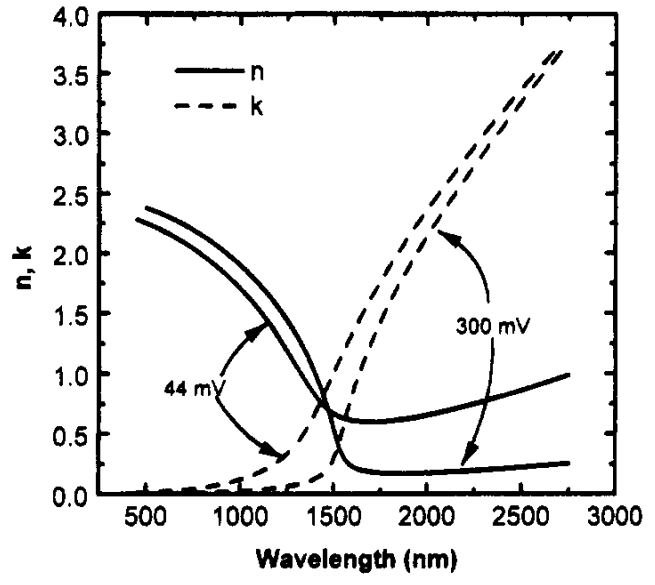


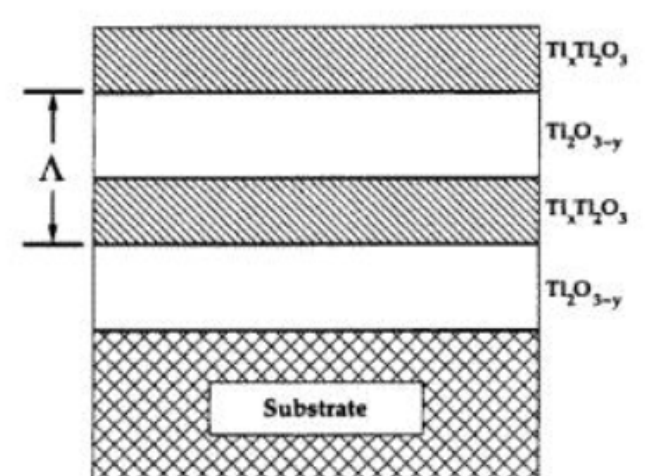
J. F. Liu, Thin Solid Films298 (1997) 156-159

Optical and Electronic Transport Properties of Electrodeposited Thallium(III) Oxide Films

Robert A. Van Leeuwen, Chen-Jen Hung, Daniel R. Kammler, and Jay A. Switzer*

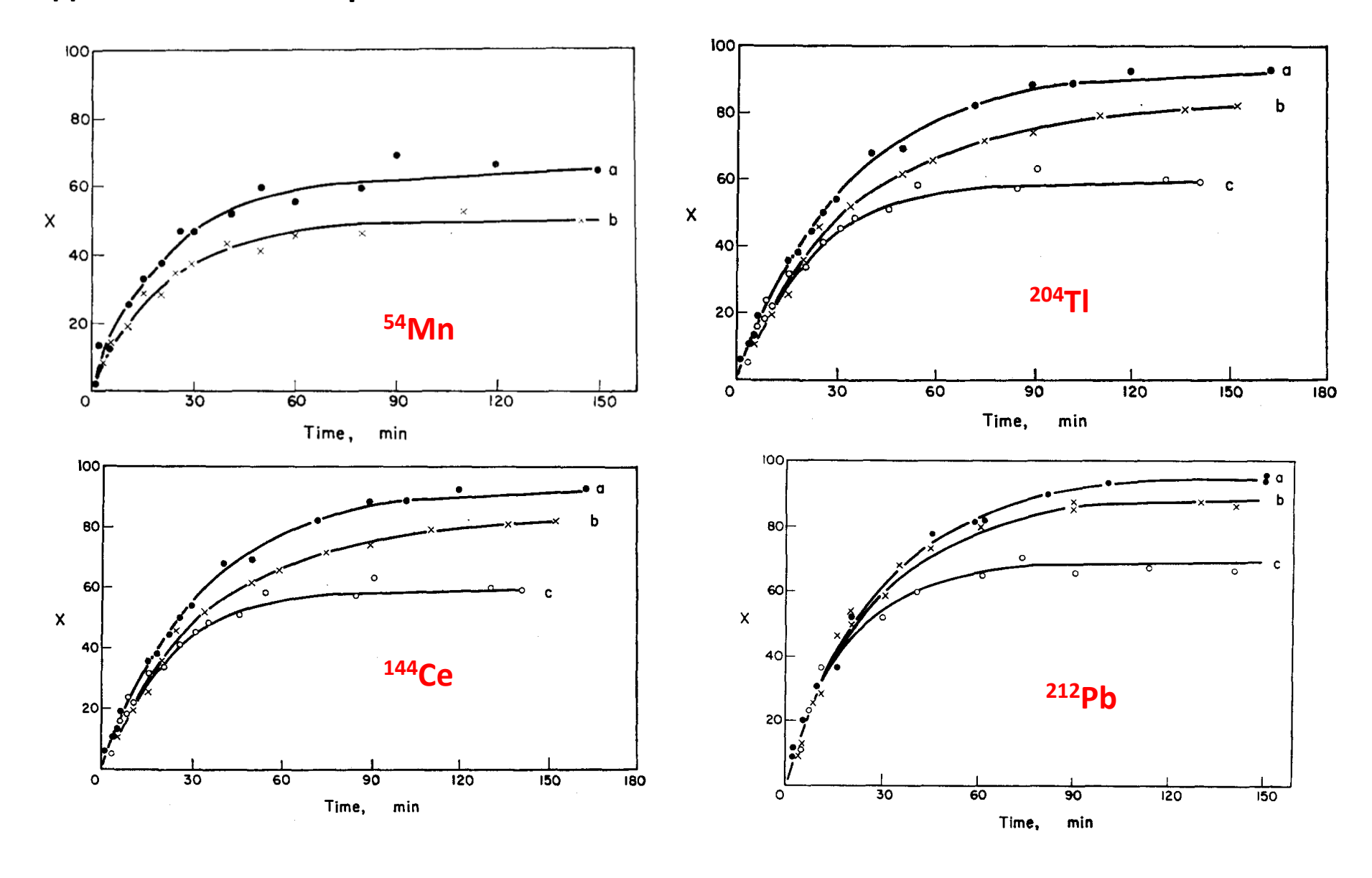
overpotential (mV)	carrier density $(\times 10^{20} \text{ cm}^{-3})$	resistivity $(\mu\Omega$ cm)	mobility (cm ² /V s)
535	8.6	86	100
400	8.3	80	94
300	8.7	78	93
220	9.5	75	88
190	9.8	74	86
117	9,5	74	89
90	10.7	130	45
44	11.0	285	27





Сверхрешетка из оксидов разной стехиометрии

Радиохимические приложения



I. Madi, J. Inorg. Nuck. Chem. 28 (1966) 335-345

J. Chim. Phys., Vol. 65 (1968), pp. 2119–2125

Oxydation anodique du curium

Moïse Haissinsky, Jean-Claude Dran, Roger Klein et Élisabeth Pluchet

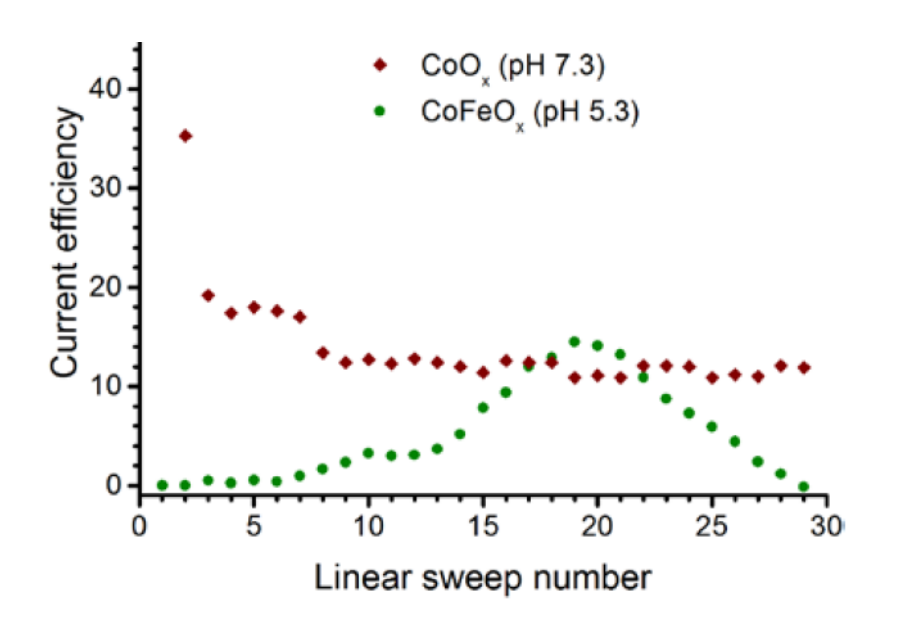
Laboratoire Curie, 11, rue Pierre et Marie Curie, Paris, 5 e France.

Résumé

On précise les facteurs dont dépend le dépôt anodique du curium : concentration, acidité, potentiel, nature de l'anion, agitation, etc. On a examiné le rôle d'un certain nombre de réactifs qui peuvent soit attaquer le dépôt en le portant en solution, soit le favoriser par stabilisation ou même en augmentant sa quantité. On conclut que le dépôt est constitué essentiellement par le bioxyde Cm0₂.

After the electrolysis a brown deposit was noted on the anode, containing curium. We observed the appearance of a deposit also in our previous experiments at the oxidation of terbium, praseodymium, and californium: however, in the case of curium the amount of the deposit on the anode was much less. The radiometric analysis de-

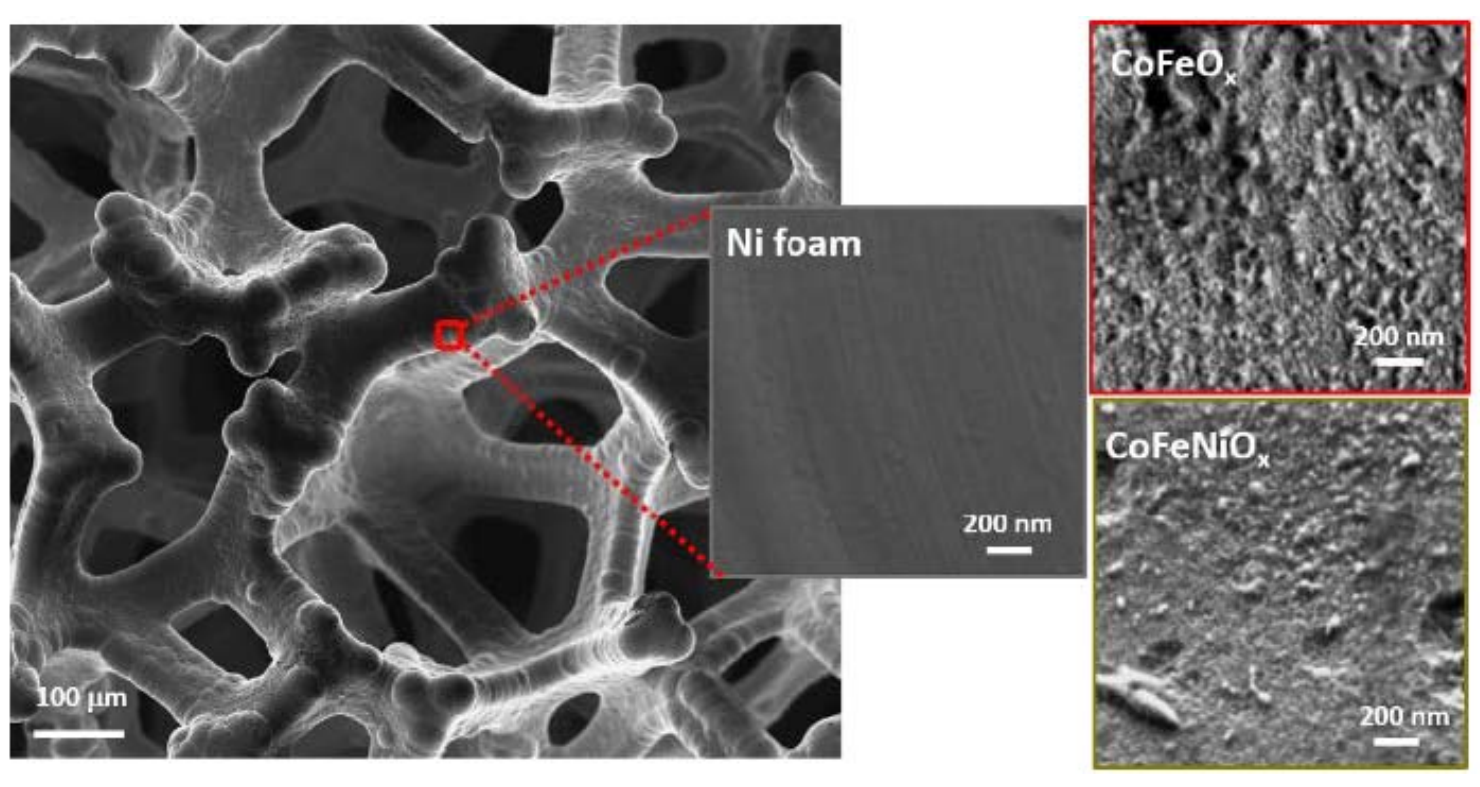
V.Ya. Frenkel et al., J. Radioanal. And Nucl. Chem. Lett. 107 (1986) 159



Электрокаталические приложения (выделение кислорода на оксидах, 'carbon-free' электродные композиции):

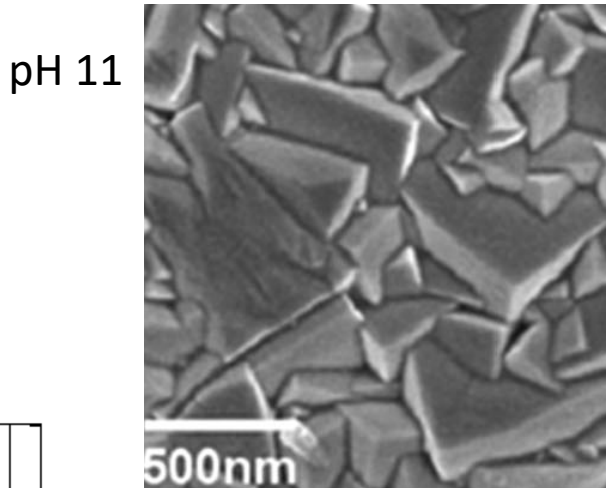
оксиды металлов группы железа

C.G. Morales-Guio, J. Am. Chem. Soc. 138 (2016) 8946–8957.

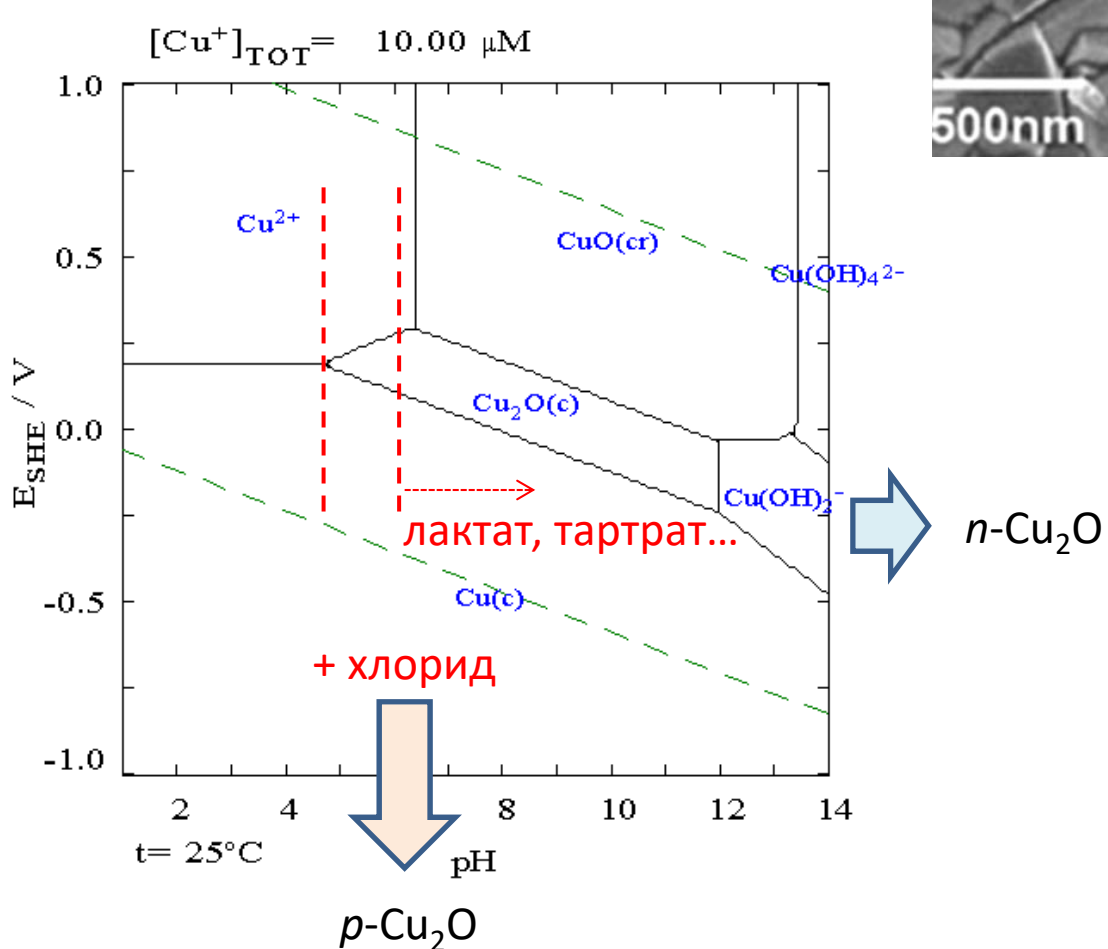


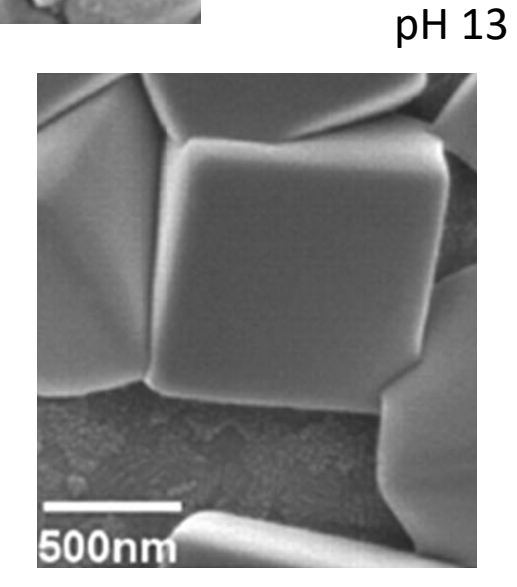
$$Cu^{2+}+e^{-}\rightarrow Cu^{+},$$

 $2Cu^{+}+H_{2}O\rightarrow Cu_{2}O\downarrow +2H^{+}$



C.M.McShane et al., J. Phys. Chem. Lett . 1 (2010) 2666–2670

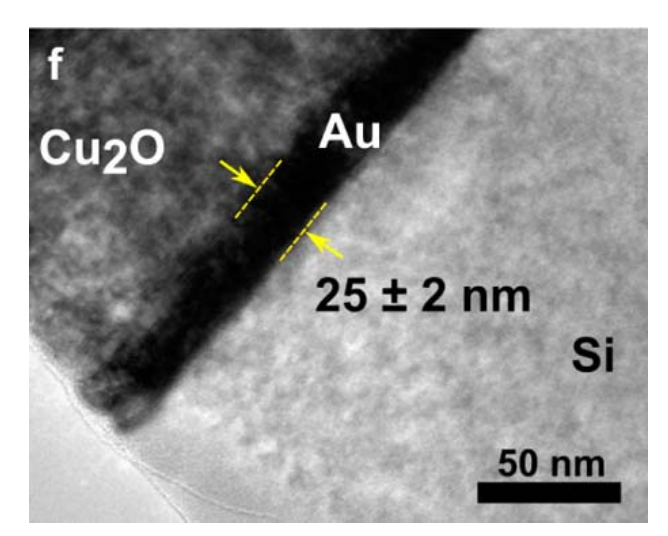


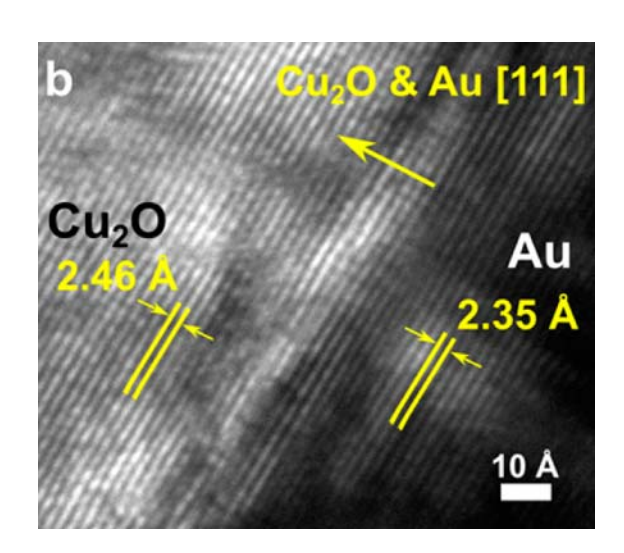


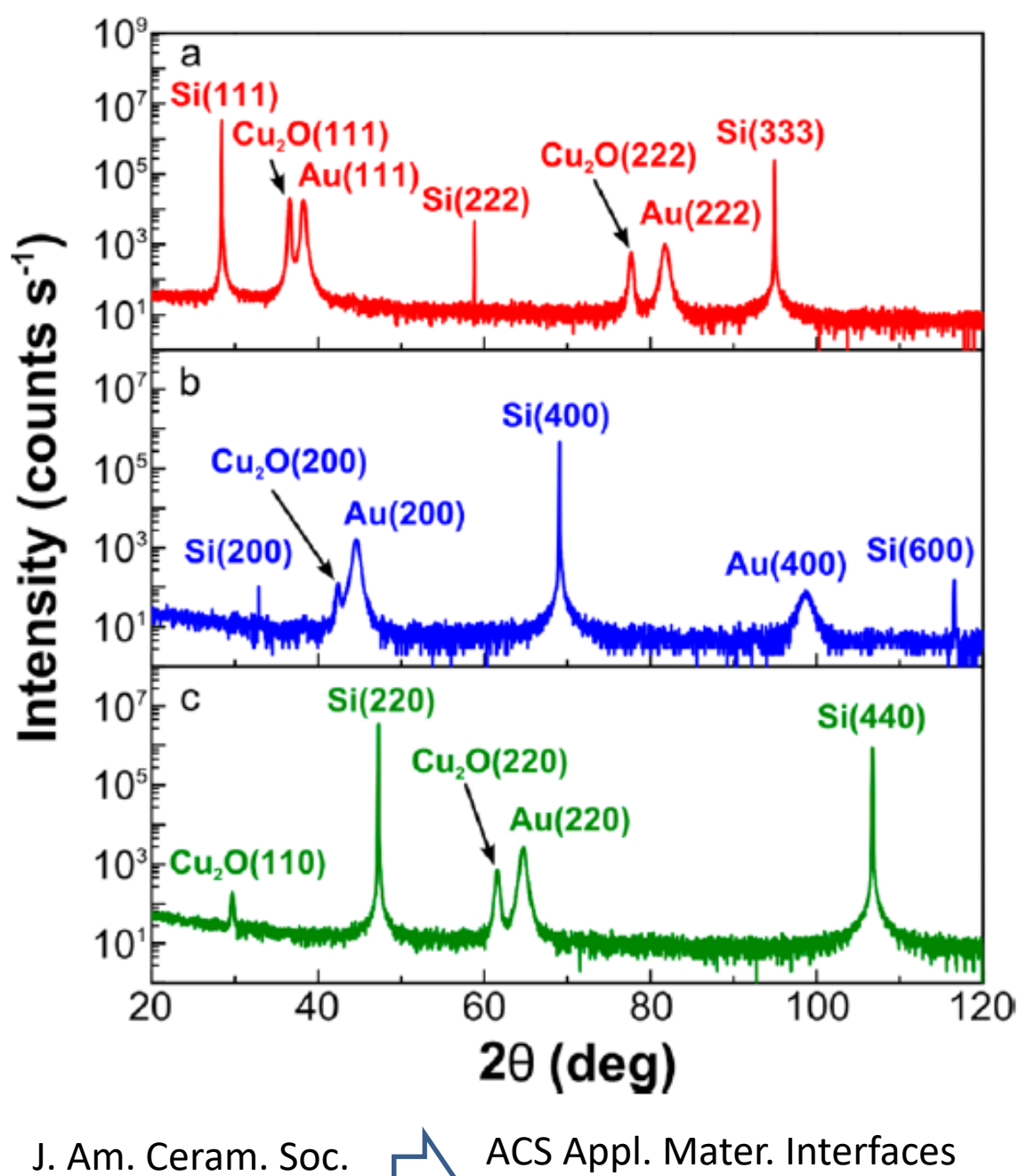
Недавний обзор:

I.S. Brandt et al.,J. Solid State Electrochem.21 (2017) 1999–2020

Эпитаксиальное осаждение Cu₂O (J. Switzer et al.)

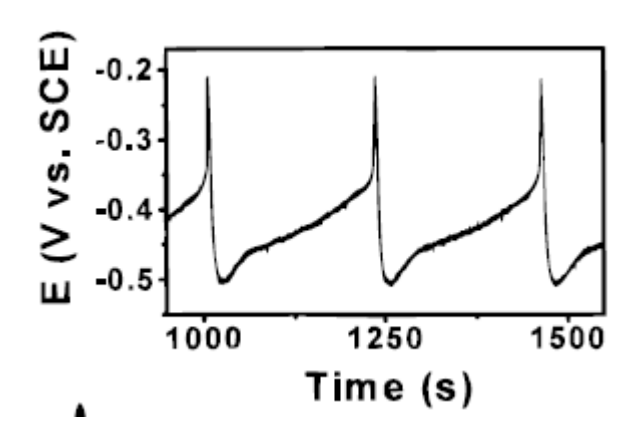






88 (2005) 253-270

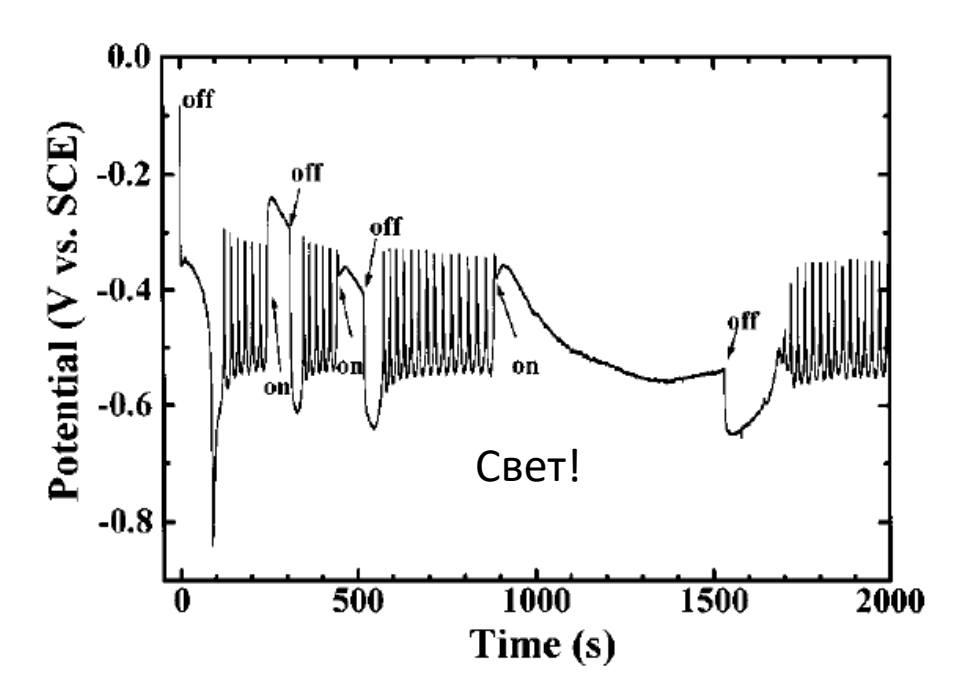
8 (2016) 15828-15837



Самопроизвольные осцилляции потенциала при гальваностатическом осаждении



Cu₂O/Cu слоистые структуры



Наноструктуры на основе Cu₂O



Нити Cu_2O , осаждение в AAO мембрану:

A.Jagminas et al., Appl. Surface Sci. 225 (2004) 302–308

- J. Switzer et al.,
- J. Am. Chem. Soc. 120 (1998) 3530-3531

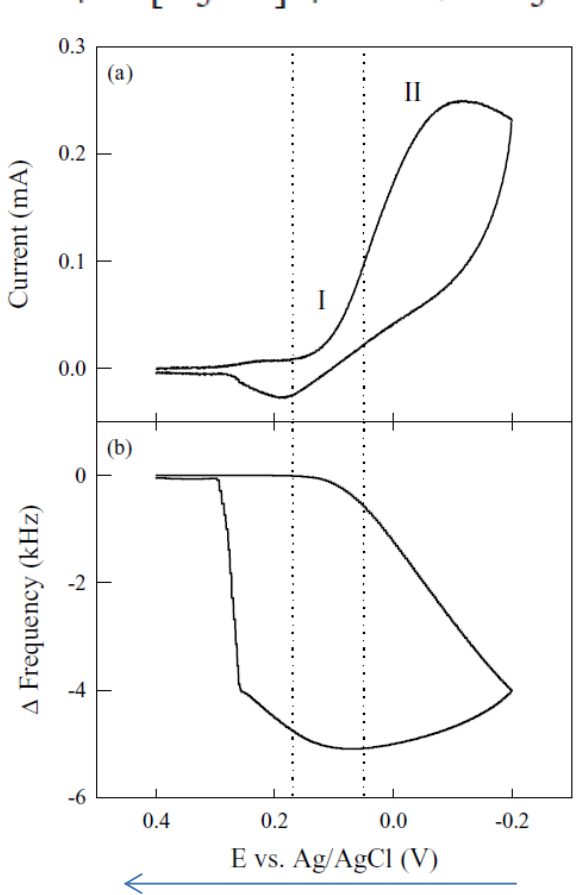
Нестехиометрические оксиды Мо, W и V

$$2W(s) + 10H_2O_2 \rightleftharpoons [W_2(O)_3(O_2)_4(H_2O)_2]^{2-} + 2H_3O^+ + 5H_2O$$

1 - Из пероксокомплексов

$$\begin{split} &[\text{Mo}_2(\text{O})_3(\text{O}_2)_4(\text{H}_2\text{O})_2]^{2-} + [\text{H}_2\text{MoO}_4] \\ &+ 12[\text{H}_3\text{O}^+] + 10\text{e}^- {\rightleftharpoons} \text{Mo}_3\text{O}_{8(\text{s})} + 21\text{H}_2\text{O} \end{split}$$

$$[W_{2}^{VI}(O)_{3}(O_{2})_{4}(H_{2}O)_{2}]^{2-} + 14H_{3}O^{+} + 10e^{-} \rightarrow (W_{2}^{VO_{2}})_{2} \cdot 2H_{2}O(s) + 21H_{2}O$$



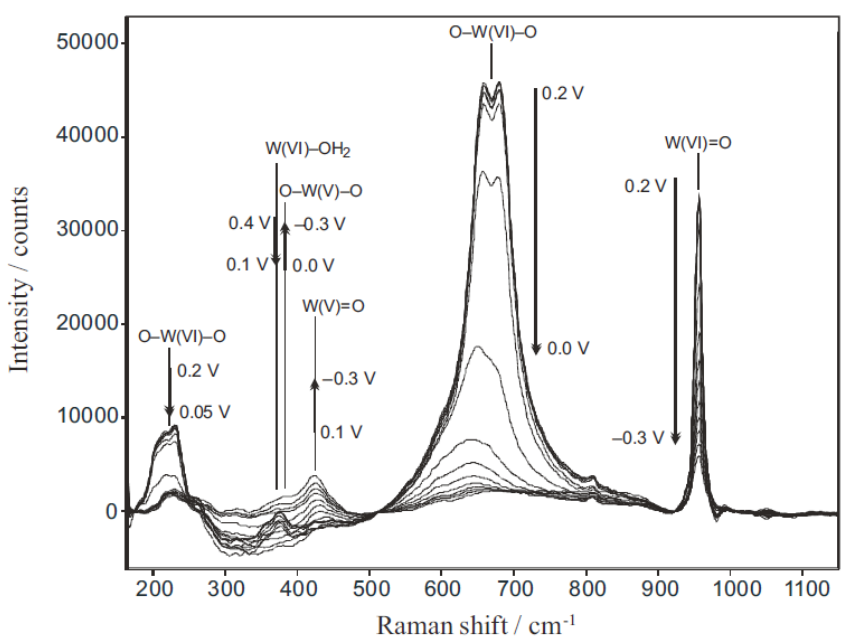
T.M.McEvoy, K. J. Stevenson,
Anal. Chim. Acta 496 (2003) 39-51

solution comp (mol %)	film comp (est by EDS)
100 W	WO_3
10 Mo/90 W	$Mo_{0.42}W_{0.58}O_3$
20 Mo/80 W	$Mo_{0.55}W_{0.45}O_3$
30 Mo/70 W	$Mo_{0.59}W_{0.41}O_3$
50 Mo/50 W	$Mo_{0.73}W_{0.27}O_3$
100 Mo	α -/ β -MoO ₃ ^b
100 Mo	α -MoO ₃
100 Mo	β -MoO ₃ b

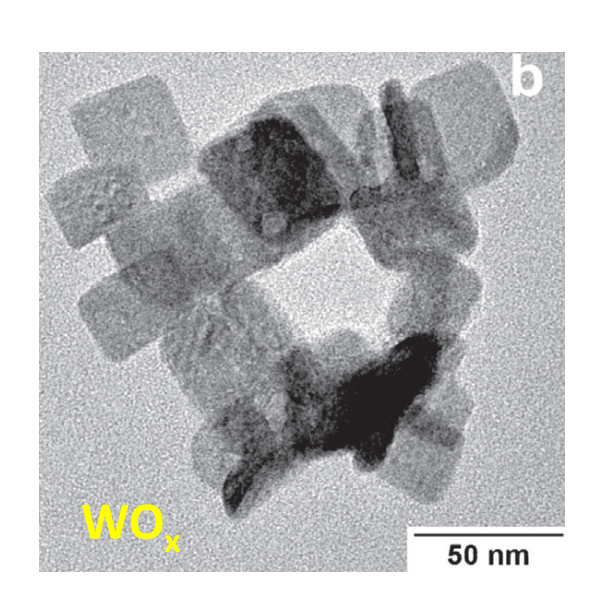
L. Kondrachova et al., Langmuir 22 (2006) 10490-10498

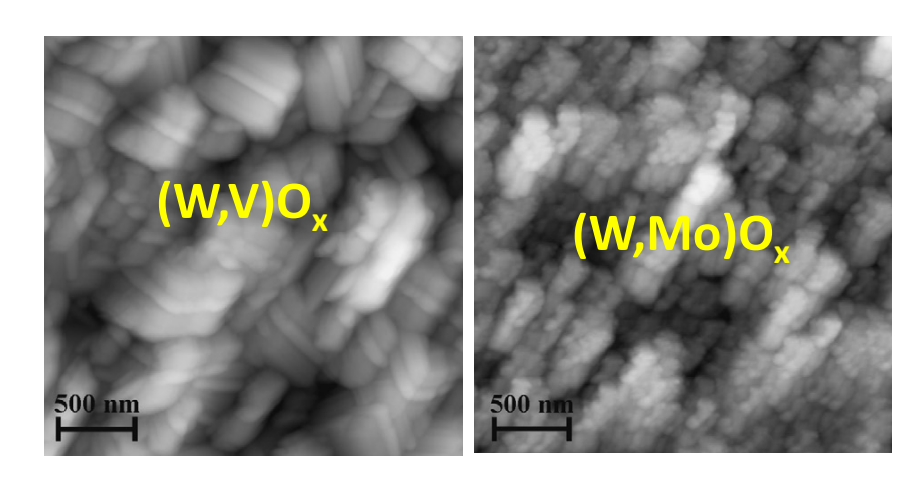
Нестехиометрические оксиды Мо, W и V

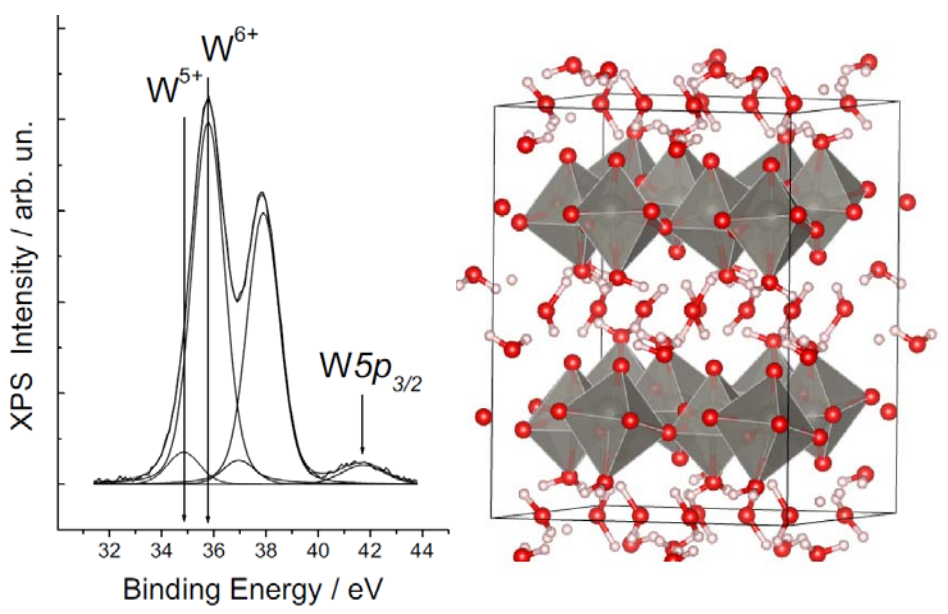
2 - из метастабильных растворов изополисоединений



V.K. Laurinavichute, Electrochim.Acta 54 (2009) 5439–5448 56 (2011) 3530–3536

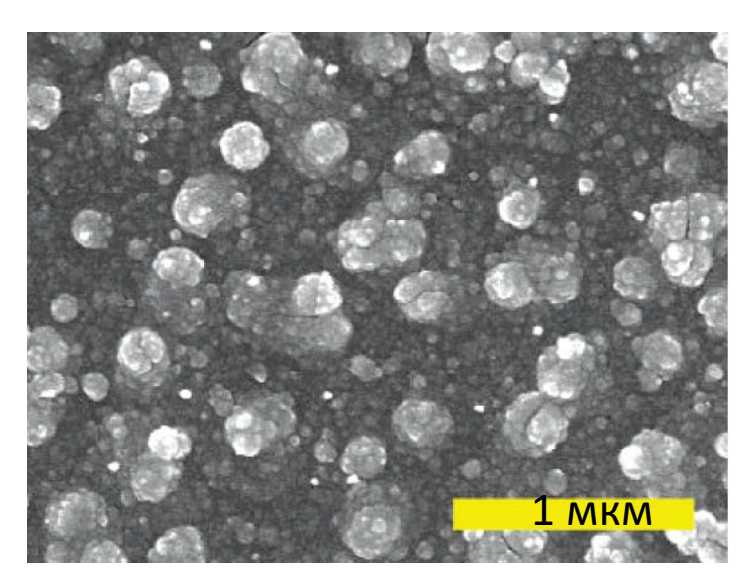




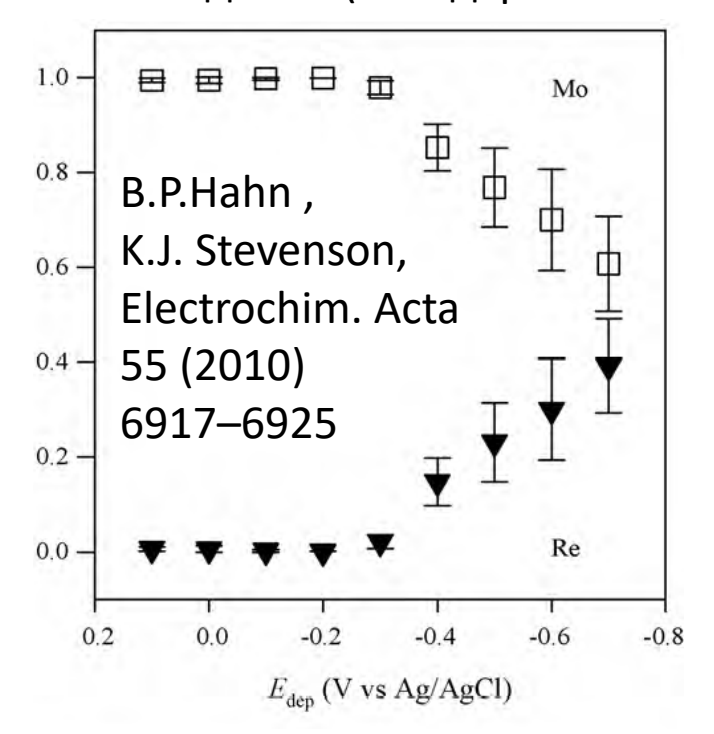


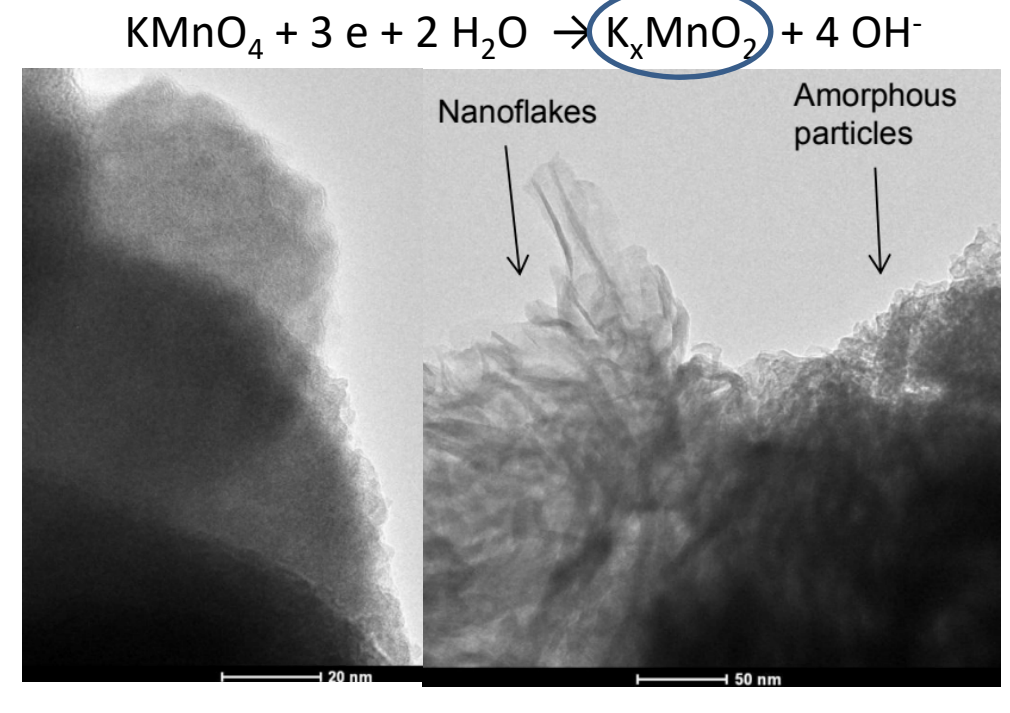
L. Pugolovkin et al., Appl. Surface Sci. 388 (2016) 786–793

$$2\text{Re}^{0} + 9\text{H}_{2}\text{O}_{2} \rightarrow 2\text{Re}^{\text{VII}}\text{O}_{4}^{-} + 2\text{H}^{+} + 8\text{H}_{2}\text{O} + \text{O}_{2}$$
 $\text{Re}^{\text{VII}}\text{O}_{4}^{-}_{(ads)} + 2\text{H}_{2} \rightarrow \text{Re}^{\text{IV}}\text{O}_{2} \cdot 2\text{H}_{2}\text{O} \rightarrow \text{Re}^{\text{VI}}\text{O}_{3}$
 $4\text{Re}^{\text{VII}}\text{O}_{4}^{-}_{(ads)} + 20\text{H}^{+} + 16\text{e}^{-} \rightarrow 2\text{Re}^{\text{III}}_{2}\text{O}_{3} + 10\text{H}_{2}\text{O}$
 B.P.Hahn et al.,
 $\text{Langmuir 23 (2007)}$ диспропорционирование 10837-10845



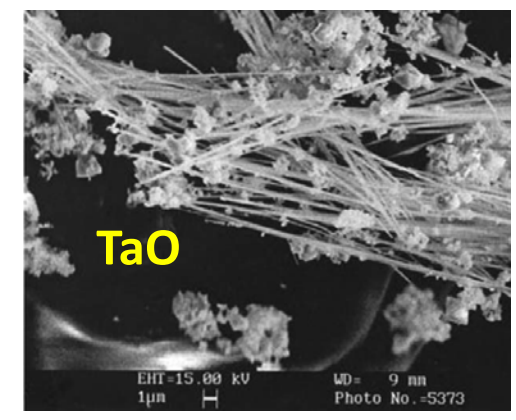
Соосаждение (оксид рения-молибдена)



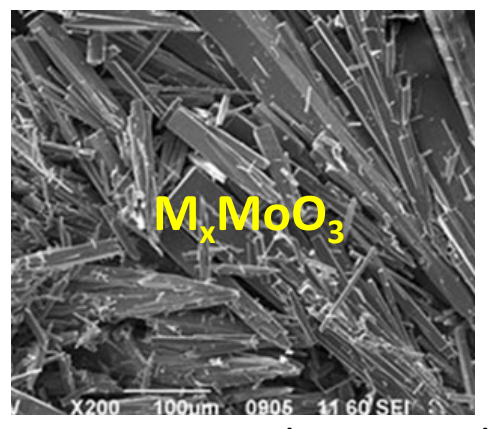


L. Pugolovkin et al., in preparation

Электрокристаллизация оксидов из расплавов

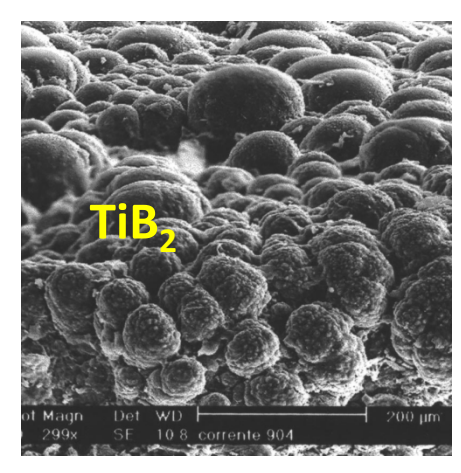


S.A. Kuznetsov,J. Electrochem. Soc.164 (2017) H5145-H5149

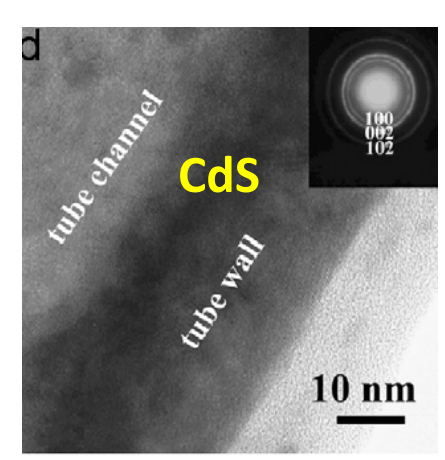


V.K.Laurinavichyute et al., J. Solid State Electrochem. 16 (2012) 3515–3528

Электрокристаллизация других бинарных соединений



G. Ett, E.G. Pessine, Electrochimica Acta 44 (1999) 2859-2870



D. Mo et al., J. Crystal Growth 310 (2008) 612–616

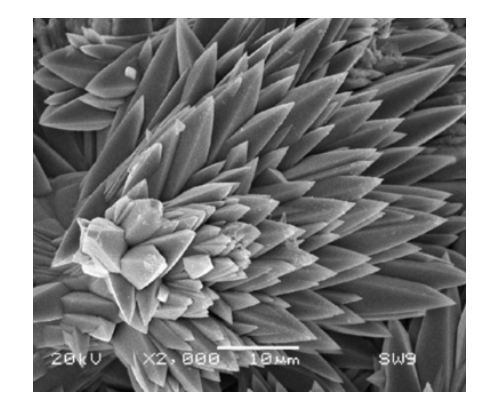
Общие вопросы

- «прекурсоры» в растворах/расплавах
- термодинамика нестехиометрических соединений
- управление природой «активных центров»

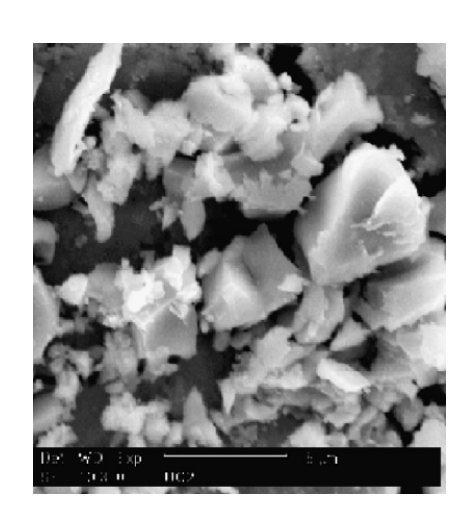
«Неклассические» способы (примеры)

$$W + 8OH^{-} \rightarrow WO_{4}^{2-} + 4H_{2}O + 6e^{-}$$

$$Ba^{2+} + WO_4^{2-} \leftrightarrow BaWO_4$$

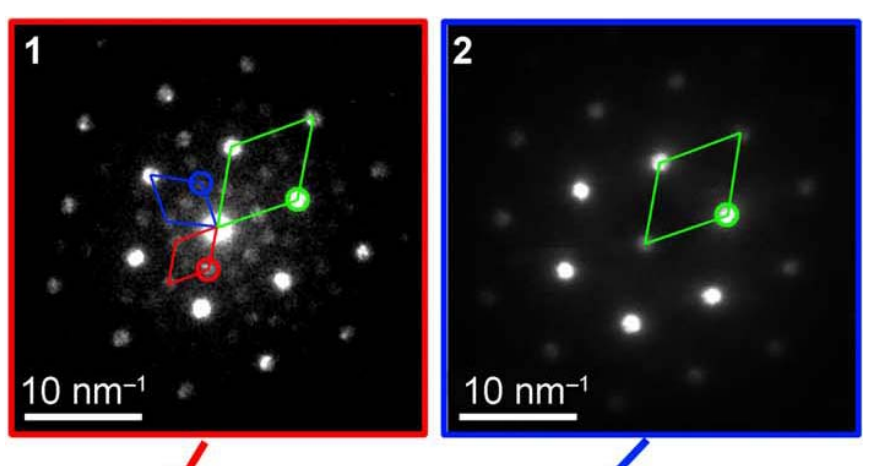


L. Chen, Y. Gao, Materials Chem. Phys. 116 (2009) 242–246

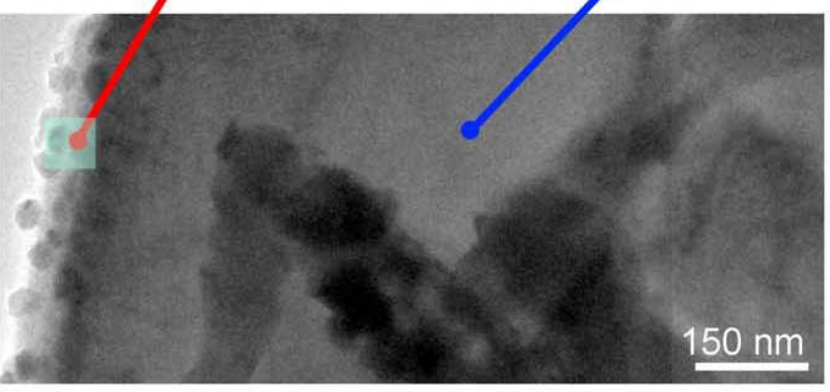


 $[{\rm UO_2}]^{2+}\,/\,{\rm UO_2}$ в ионной жидкости!

P. Giridhar, Electrochim. Acta 52 (2007) 3006–3012

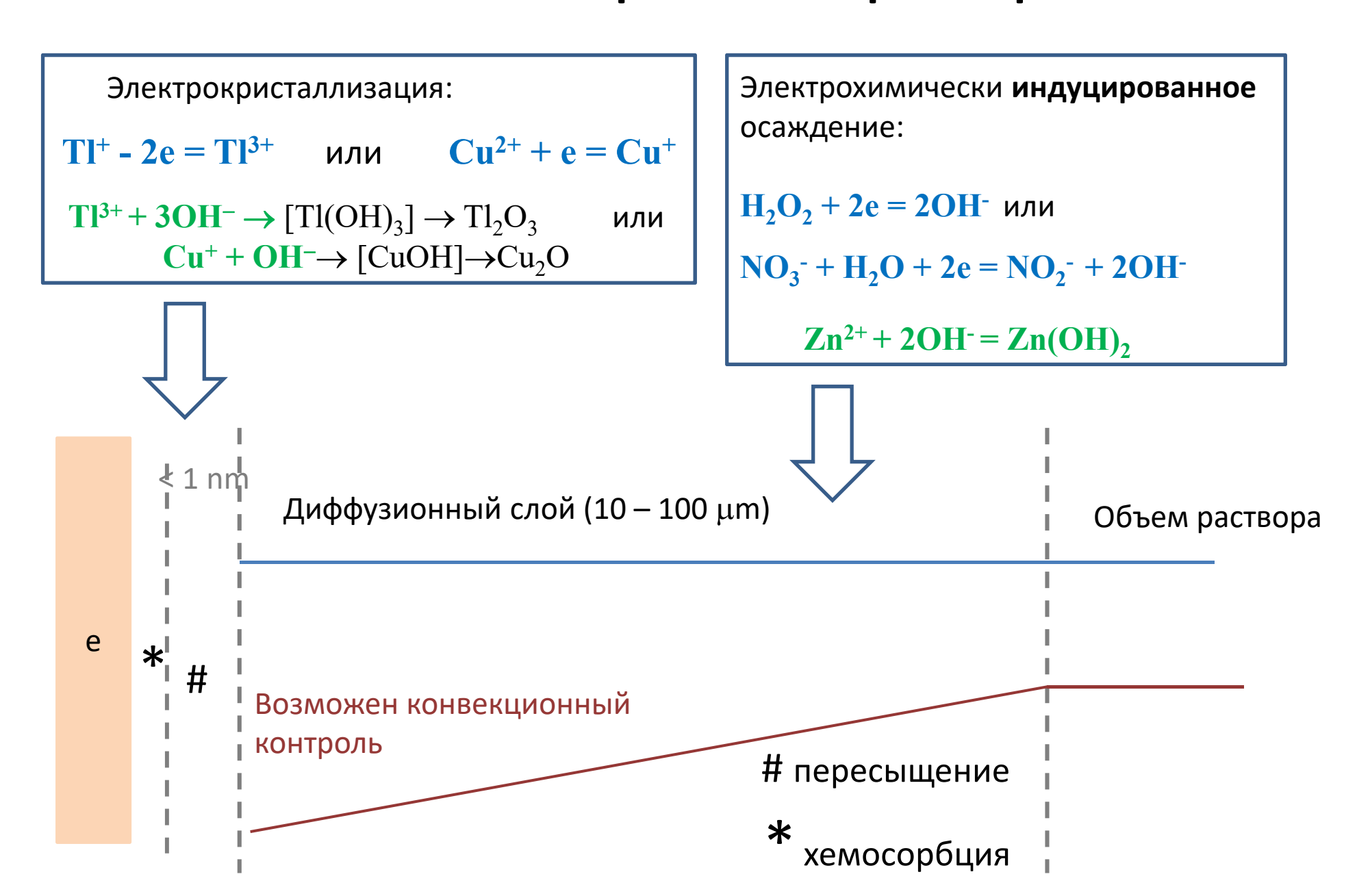


LiCoO₂ в «мокрых» щелочных расплавах

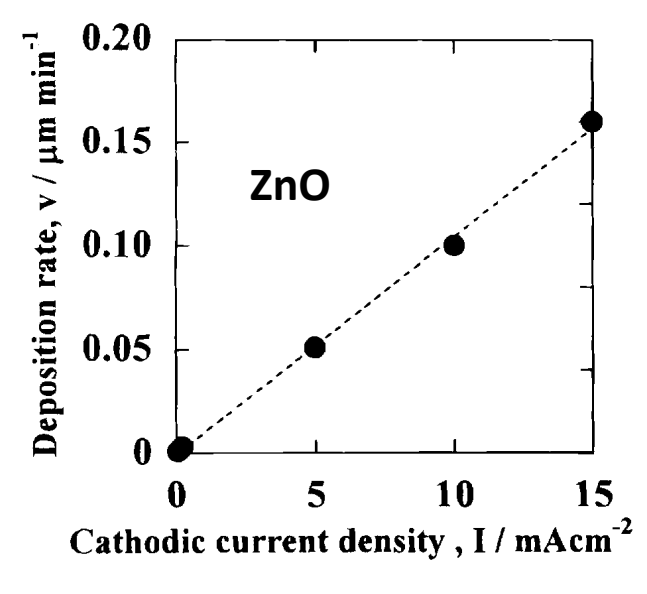


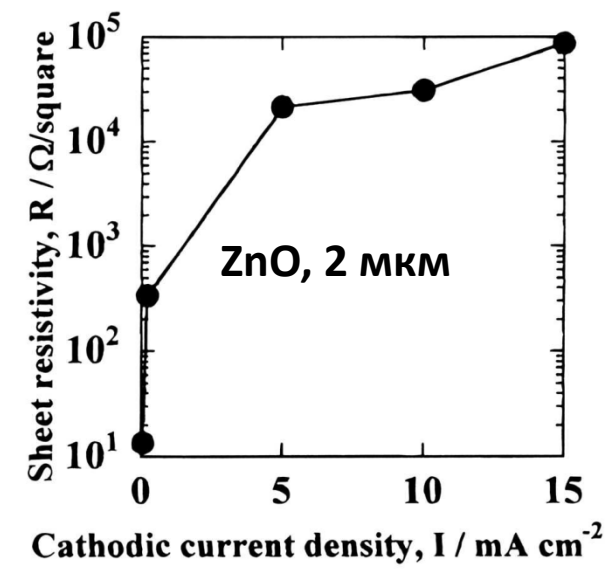
H. Zhang et al., Sci. Adv. 3 (2017) e1602427

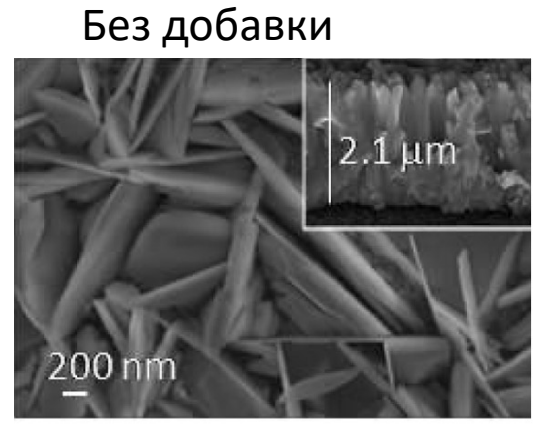
Взаимоотношения электрохимии и растворной химии



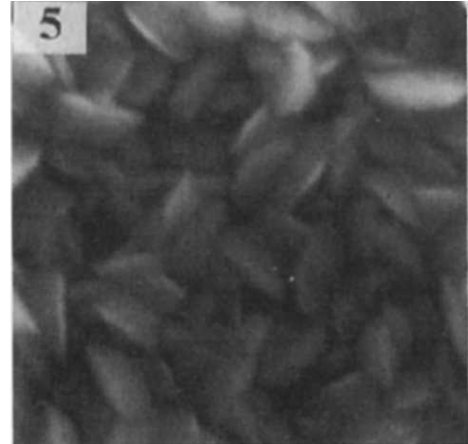






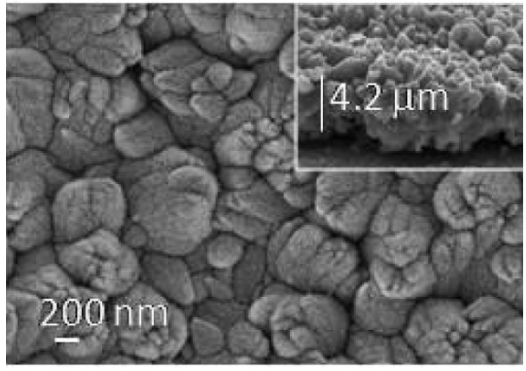


0.05

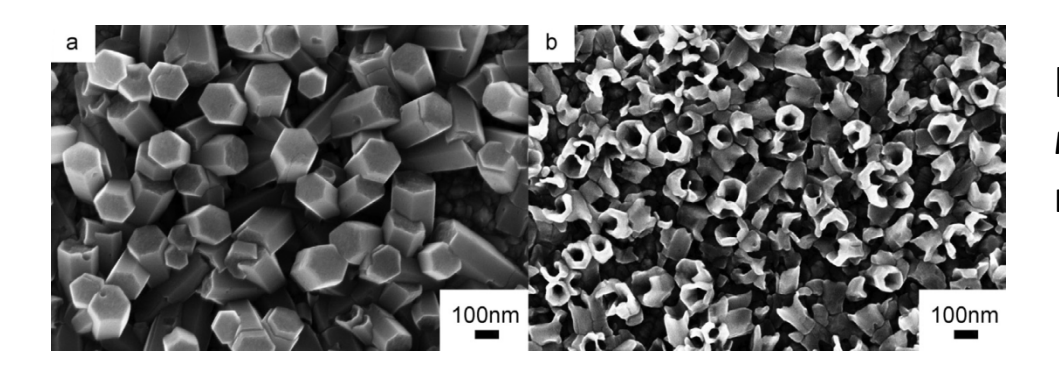


J. Electrochem.Soc.144 (1997) 1949

С тиомочевиной



Electrochim. Acta 178 (2015) 225



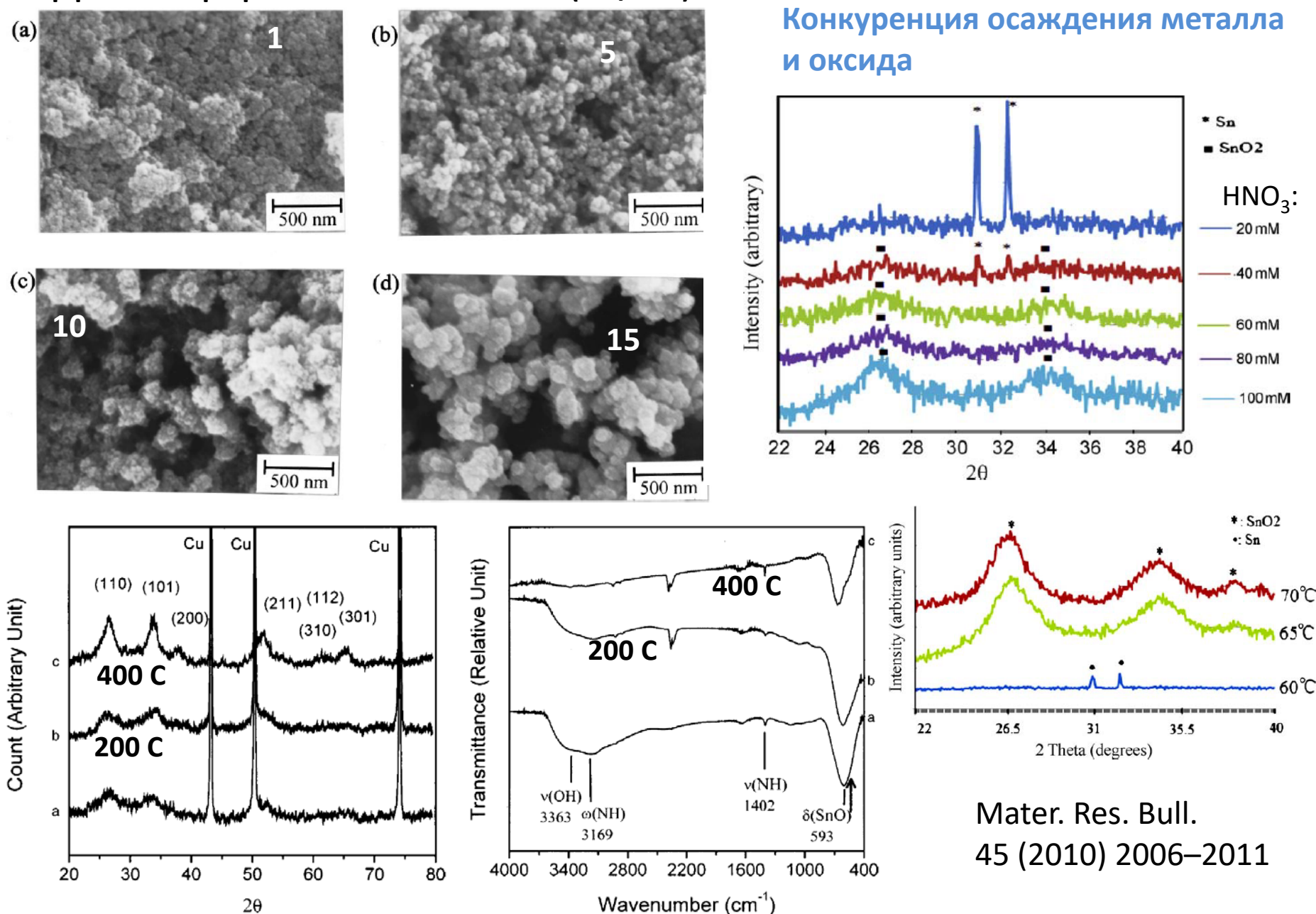
На некоторых подложках — рост монокристаллических стержней, иногда трубок.

Electrochim. Acta 132 (2014) 370

Electrochem. Solid State Lett. 5 (2002) C71

SnO_2 (катодное)





SnO₂ (анодное)

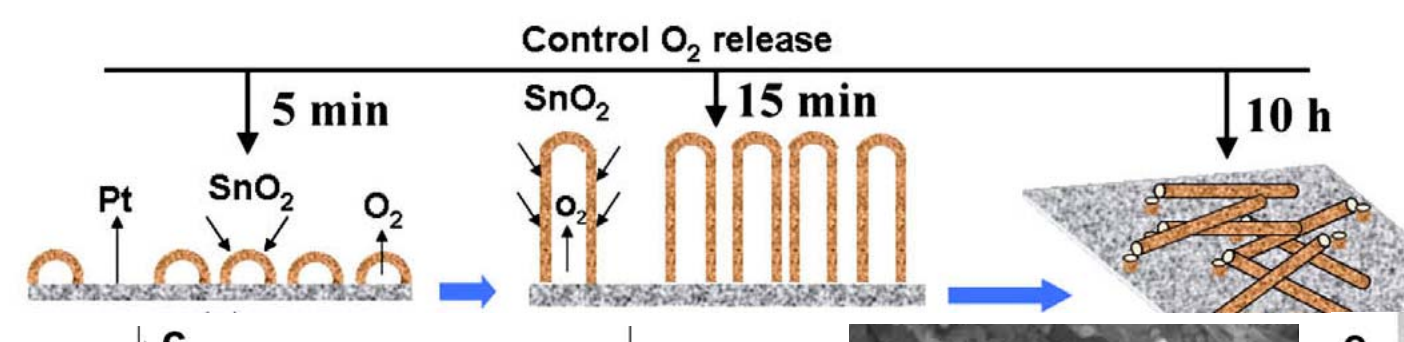
Electrochem. Commun. 11 (2009) 242

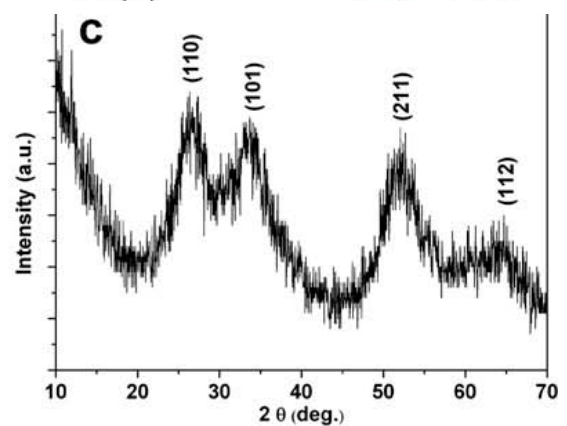
$$\begin{split} &Sn^{2+} + 4H_2O \rightarrow Sn(OH)_4 + 2e^- + 4H^+ \\ &Sn(OH)_4 + Sn(OH)_4 \leftrightarrow Sn_2O(OH)_6 + H_2O \leftrightarrow 2SnO_2 + 4H_2O \end{split}$$

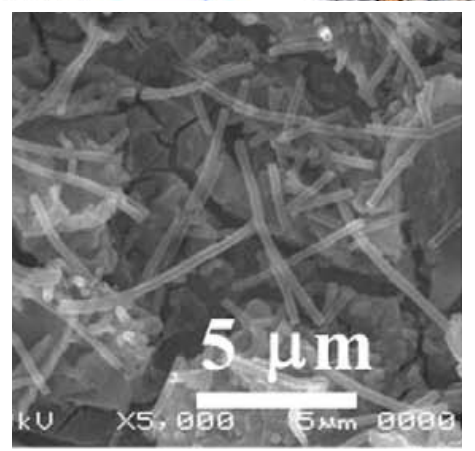
(так могла бы протекать анодная электрокристаллизация)

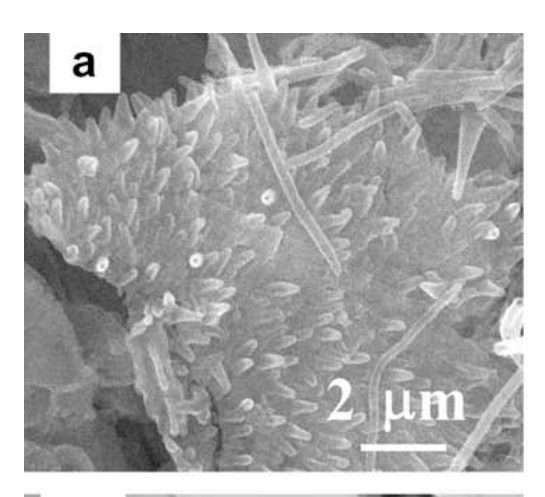
При высоких анодных потенциалах:

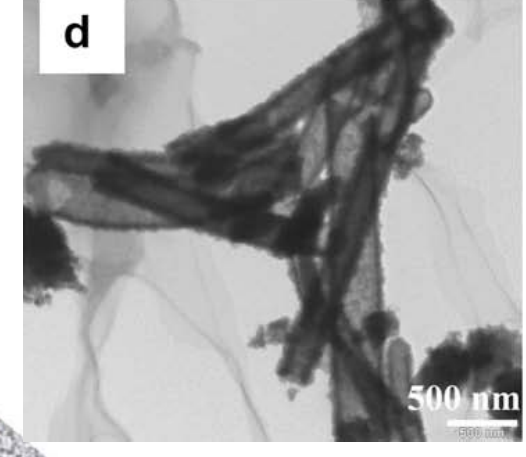
$$\begin{split} 2\text{H}_2\text{O} &\rightarrow \text{O}_2\uparrow + 4\text{H}^+ + 4\text{e}^- \\ 2\text{Sn}^{2+} + \text{O}_2 + 6\text{H}_2\text{O} &\leftrightarrow 2\text{Sn}(\text{OH})_4 + 4\text{H}^+ \\ \text{Sn}(\text{OH})_4 + \text{Sn}(\text{OH})_4 &\leftrightarrow \text{Sn}_2\text{O}(\text{OH})_6 + \text{H}_2\text{O} \leftrightarrow 2\text{SnO}_2 + 4\text{H}_2\text{O} \end{split}$$

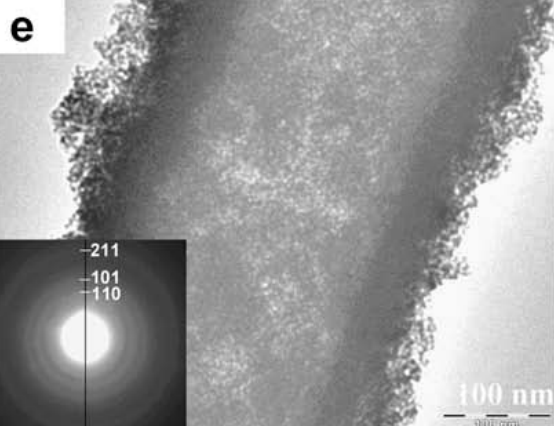










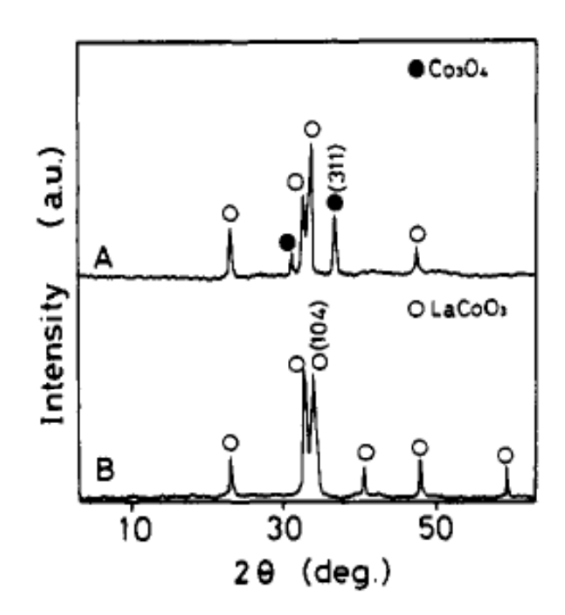


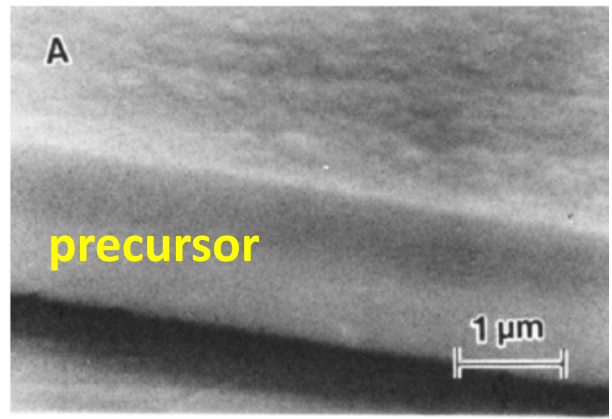
Электрохимически индуцированное осаждение многокомпонентных оксидов (их прекурсоров?)

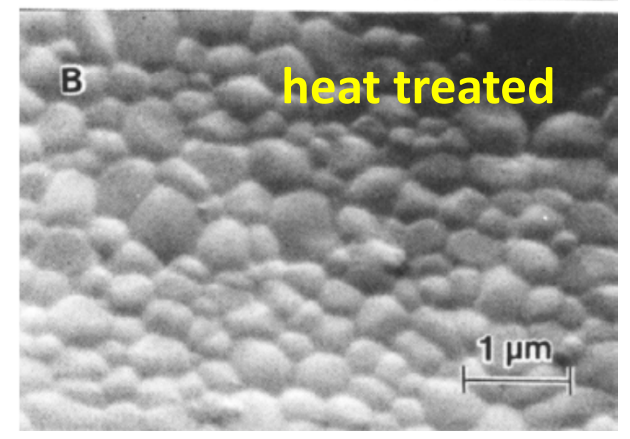
electrolyte ^a	applied potential, V	immersion time in water, min	I _{LaCoO3}	La/Co ratio
Co(CH ₃ COO) ₂	0.95	30	0.9	1.0
La(NO ₃) ₃ Co(CH ₃ COO) ₂	0.95	1	1.0	1.1
La(NO3)3 $Co(NO3)2$	0.70-0.95	1	1.0	1.1
$La(NO_3)_3$ $CoSO_4$ $La(NO_3)_3$	0.70-0.95	1	1.0	0.9

^aRatio of [Co²⁺]/[La³⁺] is fixed to be 0.02 M/2.0 M

В большинстве случаев термообработка, необходимая для получения однофазного многокомпонентного материала, требует температур всего на 100-150° ниже, чем при твердофазном синтезе.

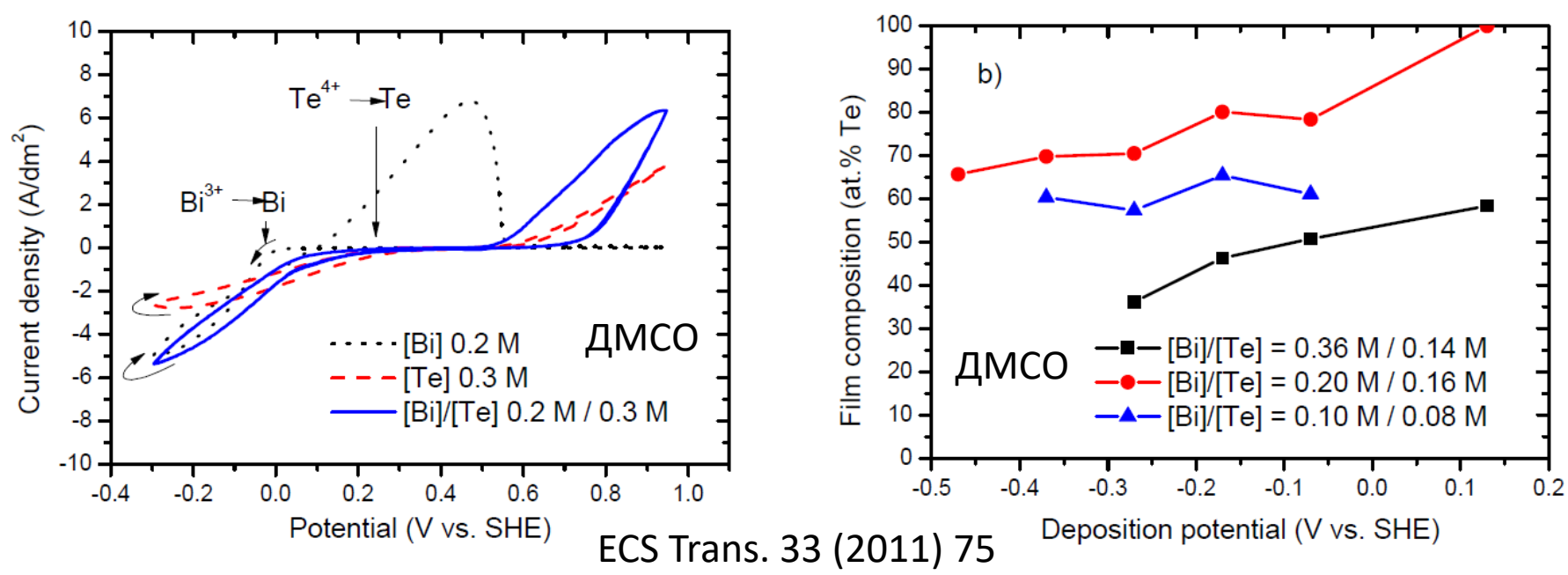






Бинарные полупроводники – две возможности:

(1) по аналогии с осаждением сплавов (восстанавливаются оба компонента);

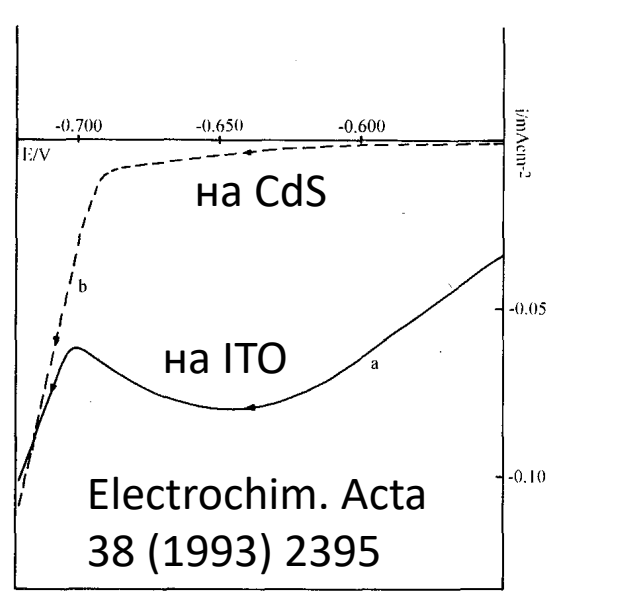


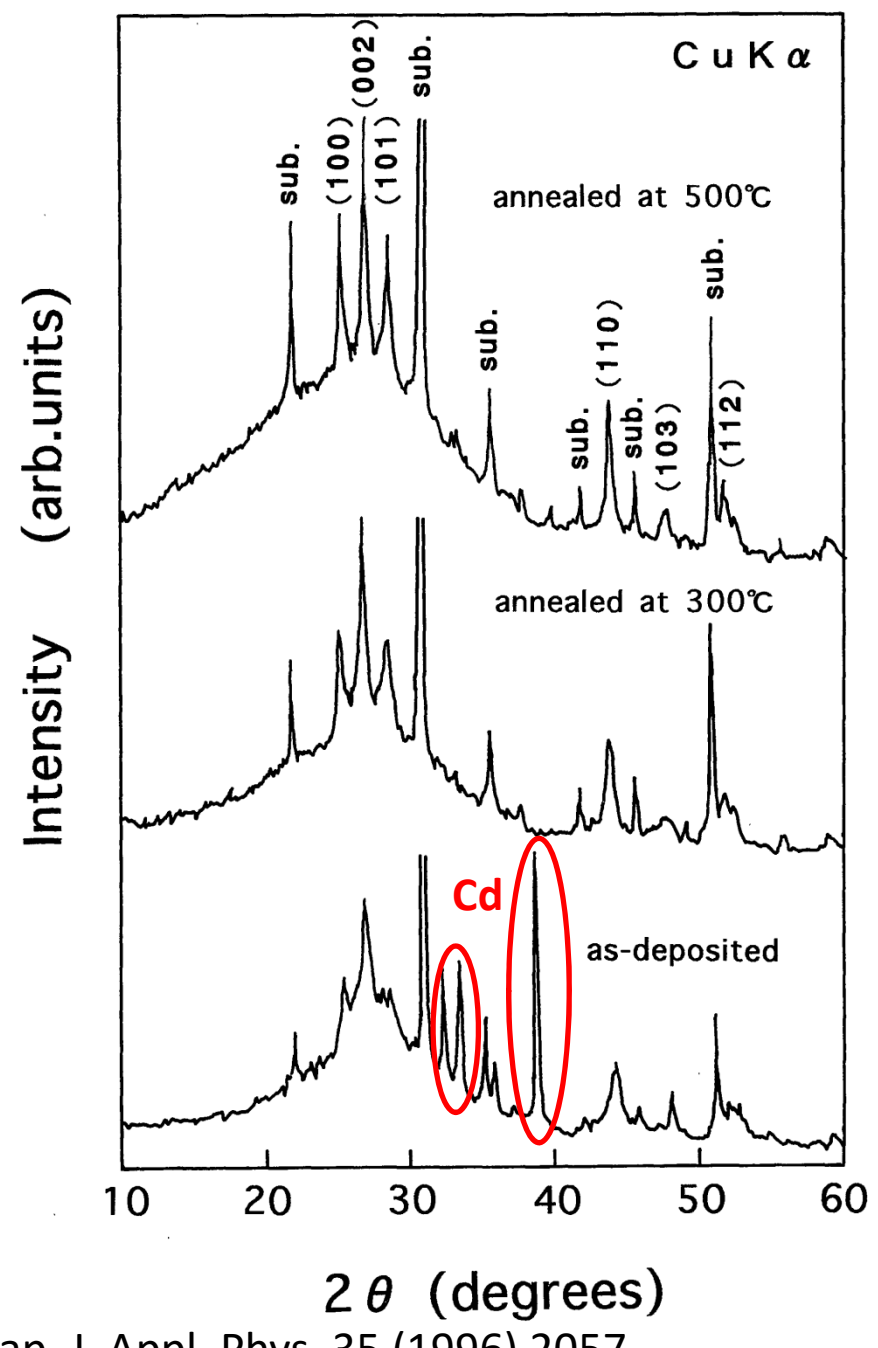
(2) по аналогии с электрокристаллизацией оксидов (восстанавливается один компонент, второй присоединяется в химической реакции).

$$S_2O_3^{2-} + 2H^+ \rightleftharpoons S + H_2SO_3$$

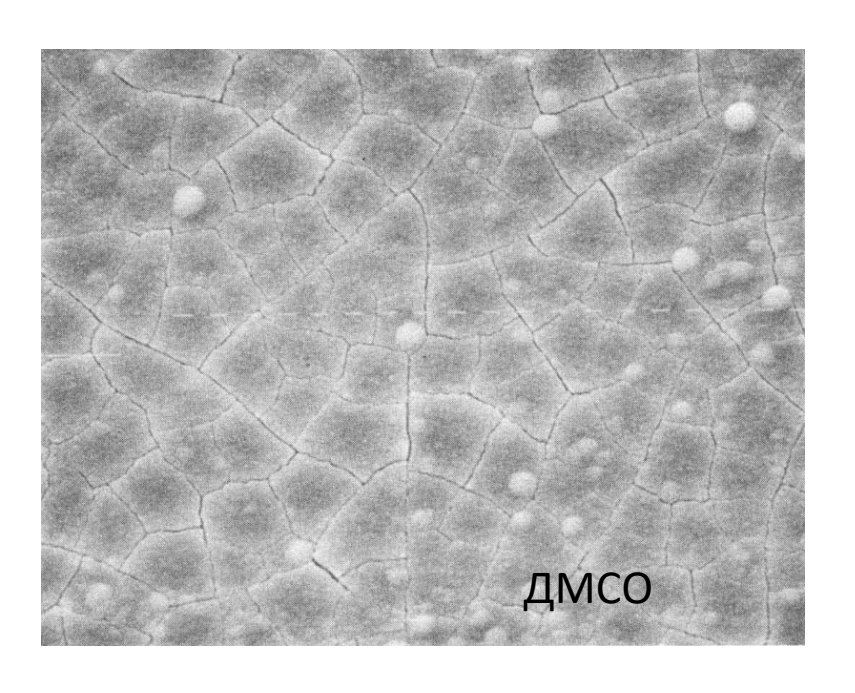
$$Cd^{2+} + S + 2e^{-} \rightleftharpoons CdS$$

Побочный процесс - восстановление катиона





Jap. J. Appl. Phys. 35 (1996) 2057





Electrochim. Acta 32 (1987) 139